

บทที่ 2

เอกสารและงานวิจัยที่เกี่ยวข้อง

บทนี้กล่าวถึงทฤษฎี เอกสารและงานวิจัยที่เกี่ยวข้องกับงานวิจัยนี้ซึ่งประกอบด้วย กระบวนการเคลือบฟิล์มบาง การก่อเกิดฟิล์มบาง โครงสร้างของฟิล์มบาง การเคลือบฟิล์มบางด้วยวิธีสปีดเทอริง กระบวนการโกล์วคิสซาร์จ ระบบเคลือบแบบ คีซี สปีดเทอริง ระบบเคลือบแบบ คีซี แมกนีตรอน สปีดเทอริง ระบบเคลือบแบบ อันบาลานซ์ แมกนีตรอน สปีดเทอริง การเคลือบฟิล์มบางด้วยวิธีรีแอคทีฟ สปีดเทอริง เซอร์โคเนียมออกไซด์ และการหาลักษณะเฉพาะของฟิล์มบาง เซอร์โคเนียมออกไซด์ ซึ่งมีรายละเอียดดังนี้

กระบวนการเคลือบฟิล์มบาง

การเคลือบฟิล์มบาง (Thin Film) ในสุญญากาศครั้งแรกทำโดย Bunsen และ Grove ในปี ค.ศ. 1852 โดยพื้นฐานแล้วแนวคิดเกี่ยวกับ การเคลือบในสุญญากาศหรือการเคลือบฟิล์มบาง คือ การเรียงตัว (Fabricated) โดยการตกเคลือบ (Deposition) ของสารเคลือบในลักษณะอะตอมเดี่ยวบนวัสดุรองรับ (Substrate) จนเกิดเป็นชั้นของฟิล์มที่บางมาก ในระดับนาโนเมตรถึงไมโครเมตร จึงอาจกล่าวได้ว่า “ฟิล์มบาง (Thin Film) หมายถึง ชั้นของอะตอมหรือกลุ่มของอะตอมที่จับรวมกันเป็นชั้นบาง ๆ” อย่างไรก็ตามการระบุฟิล์มใดเป็น “ฟิล์มบาง” นั้นอาจพิจารณาได้จากลักษณะการใช้งานว่าใช้สมบัติด้านใดของฟิล์ม กล่าวคือ ถ้าเป็นการใช้สมบัติเชิงผิว (Surface Properties) จะเรียกฟิล์มนั้นว่า “ฟิล์มบาง” แต่ถ้าเป็นการใช้สมบัติเชิงปริมาตร (Bulk Properties) จะเรียกฟิล์มนั้นว่า “ฟิล์มหนา” ทั้งนี้จะเห็นว่า ฟิล์มเดียวกันนั้นอาจเป็นทั้ง “ฟิล์มบาง” หรือ “ฟิล์มหนา” ก็ได้ขึ้นกับลักษณะการใช้งานเป็นสำคัญ (Bunshah, 1994)

ปัจจุบันมีการนำฟิล์มบางมาประยุกต์ใช้ในงานด้านต่าง ๆ มากมาย เช่น งานด้าน อิเล็กทรอนิกส์ เช่น สารกึ่งตัวนำ ฟิล์มตัวนำ และฟิล์มตัวต้านทาน หรืองานด้านทัศนศาสตร์ เช่น เลนส์ กระจกสะท้อนแสง กระจกสะท้อนความร้อน เป็นต้น นอกจากนี้ยังสามารถใช้วิธีการเคลือบฟิล์มบางในการเตรียมสารตัวอย่างสำหรับการศึกษาศสมบัติทางกายภาพของวัสดุในรูปของฟิล์มบาง ซึ่งสมบัติบางอย่างไม่สามารถวัดได้เมื่ออยู่ในสภาพเป็นก้อน (Bulk) เพราะฉะนั้นข้อมูลเหล่านี้มีประโยชน์อย่างมากต่อการพัฒนาวัสดุเพื่อนำไปใช้ในอุตสาหกรรม

การเคลือบฟิล์มบางเป็นกระบวนการที่ทำให้สารเคลือบตกเคลือบลงบนผิววัสดุรองรับที่ต้องการ ซึ่งสามารถทำได้ทั้งกระบวนการทางเคมีหรือกระบวนการทางฟิสิกส์ โดยพื้นฐานแล้วกระบวนการเคลือบฟิล์มบางมีขั้นตอนสำคัญ 3 ขั้นตอน (Smith, 1995) ดังนี้คือ

1. การสร้างสารเคลือบ (Source) โดยทั่วไปแล้วสารเคลือบอาจอยู่ในรูปของของแข็งของเหลว ไอ หรือแก๊ส ก็ได้ แต่สารเคลือบขณะทำการเคลือบนั้นจำเป็นต้องอยู่ในรูปของไอระเหยเท่านั้น ซึ่งวิธีการที่ทำให้สารเคลือบกลายเป็นไอระเหยสามารถทำได้หลายวิธี เช่น การให้ความร้อนหรือการระดมยิงด้วยอนุภาคที่มีพลังงานสูง เป็นต้น

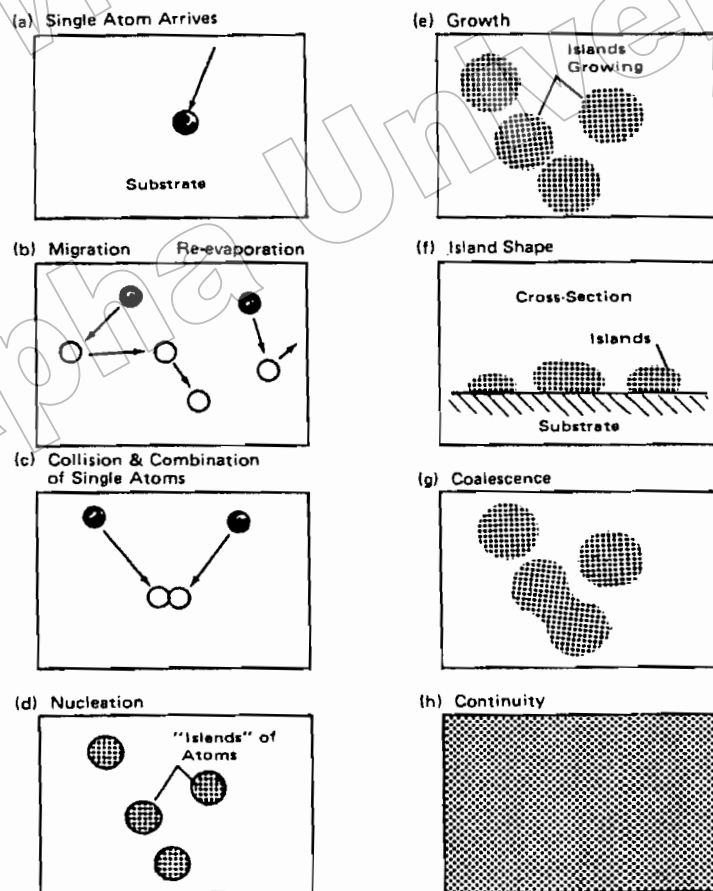
2. การเคลื่อนย้ายสารเคลือบมายังวัสดุรองรับ (Transport) ในภาวะสุญญากาศ ไอระเหยของสารเคลือบอาจจะมีการเคลื่อนที่เป็นเส้นตรง ไปยังวัสดุรองรับ หรืออาจจะเคลื่อนที่ไปในลักษณะของไหล ซึ่งจะทำให้ไอระเหยของสารเคลือบมีการชนกับอนุภาคอื่นภายในภาวะสุญญากาศ นอกจากนี้ไอระเหยอาจจะเคลื่อนที่ไปยังวัสดุรองรับในลักษณะของพลาสมาก็ได้

3. การสะสมพอกพูน (Deposition) เป็นขั้นตอนการพอกพูนของสารเคลือบและโตขึ้นจนกลายเป็นชั้นของฟิล์มบางบนวัสดุรองรับ ขั้นตอนนี้จะขึ้นกับเงื่อนไขของวัสดุรองรับหรือการทำปฏิกิริยาของสารเคลือบกับวัสดุรองรับ ความสะอาดของผิววัสดุรองรับ ตลอดจนพลังงานที่ใช้ในการเคลือบ

การก่อเกิดฟิล์มบาง

การเกิดฟิล์มบางจากกระบวนการเคลือบฟิล์มบางในสุญญากาศ Chapman (1980) ได้อธิบายไว้ดังนี้เมื่อสารเคลือบจากแหล่งกำเนิดสารเคลือบเคลื่อนที่มาถึงวัสดุรองรับ สารเคลือบที่กระทบผิววัสดุรองรับส่วนใหญ่จะอยู่ในรูปของอะตอมหรือโมเลกุล (ภาพที่ 2-1 (a)) โดยพลังงานพันธะ (Bonding Energy) ระหว่างอะตอมของสารเคลือบกับวัสดุรองรับและอุณหภูมิของวัสดุรองรับ จะเป็นตัวกำหนดความสามารถในการแพร่ (Diffusion) ของสารเคลือบบนผิววัสดุรองรับ อะตอมของสารเคลือบจะตกกระทบผิววัสดุรองรับในตำแหน่งที่เรียกว่าตำแหน่งการดูดซับ (Adsorption Site) ทำให้เกิดการเกาะติดหรือถ้ามีพลังงานมากพอก็อาจกระโดดข้ามกำแพงพลังงานไปยังบริเวณที่อยู่ติดกันหรือหลุดออกจากตำแหน่งนั้นไป (ภาพที่ 2-1 (b)) ในช่วงเวลาหนึ่งอะตอมของสารเคลือบอาจเกิดการระเหยกลับและเกิดการรวมตัวกันระหว่างอะตอมที่มีการแพร่ด้วยกัน เมื่ออะตอมของสารเคลือบรวมตัวกันอาจเกิดเป็นอะตอมคู่ (ภาพที่ 2-1 (c)) ซึ่งมีความเสถียรมากกว่าอะตอมเดี่ยว (Single Atom) ซึ่งการรวมตัวกันของอะตอมนั้นจะขึ้นอยู่กับความหนาแน่นของอะตอมเดี่ยวและอัตราเคลือบ (Deposition Rate) อะตอมคู่อาจรวมตัวกับอะตอมเดี่ยวอื่นแล้วกลายเป็นสามอะตอม (Triplets) หรือ สี่อะตอม (Quadruplets) หรืออื่น ๆ ลักษณะเช่นนี้เรียกว่า

สภาวะการเกิดนิวเคลียส (ภาพที่ 2-1 (d)) ทำให้ได้กลุ่มอะตอมกึ่งเสถียร (Quasi-Stable Islands) จากนั้นกลุ่มอะตอมจะเริ่มโตขึ้นเรียกว่า การโตเป็นกลุ่มก้อน (Island Growth) ขนาดของกลุ่มอะตอมจะใหญ่ขึ้น โดยมีจำนวนอะตอมเท่าเดิม หรือเพิ่มขึ้นเล็กน้อย (ภาพที่ 2-1 (e) และ 2-1 (f)) การโตของกลุ่มอะตอมนี้จะเกิดขึ้นเรื่อย ๆ จนกระทั่งขอบของแต่ละกลุ่มอะตอมชนกัน เรียกว่า การรวมกันเป็นก้อนของกลุ่มอะตอม (Agglomeration หรือ Coalescence) (ภาพที่ 2-1 (g)) จากการศึกษาด้วยเทคนิค Transmission Electron Microscopy (TEM) พบว่าขณะที่กลุ่มอะตอมรวมกันเป็นก้อน อะตอมจะมีพฤติกรรมคล้ายของเหลว (Liquid-Like Behaviour) และมีการจัดเรียงทิศทางในเชิงผลึกวิทยา (Crystallographic Orientation) ด้วย การรวมกันเป็นก้อนของกลุ่มอะตอมจะเกิดขึ้นจนกระทั่งเชื่อมต่อกันอย่างต่อเนื่อง (ภาพที่ 2-1 (h)) แต่ในบางกรณีการเชื่อมต่อกันอย่างต่อเนื่องจะเกิดขึ้นได้อย่างสมบูรณ์เมื่อฟิล์มมีความหนาโดยเฉลี่ยประมาณ $0.04 - 0.05 \mu\text{m}$ ลักษณะผิวของฟิล์มบางขณะเกิดการรวมกลุ่มอะตอมจะดูคล้ายเนินเขาและหุบเขา



ภาพที่ 2-1 การก่อเกิดฟิล์มบาง (Chapman, 1980)

เมื่อพิจารณาการเกิดฟิล์มในสถานะที่เป็นกลุ่มอะตอม (Island) พบว่าอาจเป็นกลุ่มของผลึกเดี่ยวหรือกลุ่มของผลึกคู่หรือมากกว่านั้น ซึ่งกลุ่มอะตอมเหล่านี้จะตกเคลือบลงบนวัสดุรองรับที่เป็นวัสดุหลายผลึก ทิศทางการจัดเรียงตัว (Orientation) ของแต่ละกลุ่มอะตอมนั้นจะเป็นแบบสุ่ม (Random) ทำให้ได้ฟิล์มบางที่มีโครงสร้างเป็นหลายผลึกด้วย แต่ถ้ากลุ่มอะตอมเหล่านี้ตกเคลือบลงบนวัสดุรองรับที่เป็นผลึกเดี่ยว การจัดเรียงตัวของฟิล์มก็จะมีลักษณะเป็นผลึกเดี่ยว และเรียกการเกิดฟิล์มแบบผลึกเดี่ยวประเภทนี้ว่า เอพิเทกซ์ (Epitaxy)

ถ้าอะตอมที่ผิวของวัสดุรองรับมีพลังงานเพียงพอ อะตอมเหล่านี้จะเคลื่อนที่เพื่อเลือกเข้าไปอยู่ในตำแหน่งที่มีพลังงานต่ำกว่าเสมอ ทั้งนี้ความสามารถในการเคลื่อนที่ (Mobility) ของอะตอมจะเพิ่มขึ้น ถ้าอุณหภูมิที่ผิววัสดุรองรับสูงขึ้น นอกจากนี้การลดอัตราเคลือบยังสามารถช่วยให้การโตของผลึกเกิดได้ดียิ่งขึ้น เพราะอะตอมมีเวลาในการโตมากพอ ดังนั้นถ้าอุณหภูมิของวัสดุรองรับสูงและมีอัตราเคลือบต่ำจะได้ฟิล์มที่มีขนาดของเกรนใหญ่ขึ้น มีข้อบกพร่องในเกรนน้อยลง และได้ฟิล์มที่มีความหนาเหมาะสำหรับการเชื่อมต่อกันอย่างสมบูรณ์ ในทางกลับกันถ้าอุณหภูมิวัสดุรองรับต่ำแต่อัตราเคลือบสูงก็จะให้ผลลักษณะเดียวกัน

โครงสร้างของฟิล์มบาง

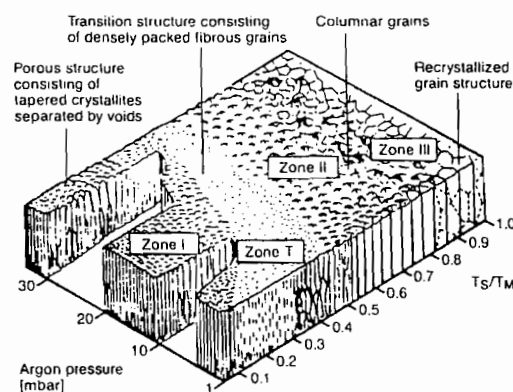
โครงสร้างของฟิล์มบางจะเป็นไปตามเงื่อนไขของอัตราส่วนระหว่างอุณหภูมิเคลือบกับอุณหภูมิหลอมเหลว (T/T_m) ซึ่งแบ่งออกเป็น 4 ส่วน ตามลักษณะโครงสร้างและสมบัติทางกายภาพ (ชีวารัตน์ ม่วงพัฒน์, 2544) ดังภาพที่ 2-2

1. บริเวณ 1 (Zone 1) เป็นการเคลือบ ที่เกิดในช่วงอุณหภูมิต่ำ และความดันขณะเคลือบมีค่าสูง อะตอมที่อยู่บนผิววัสดุรองรับจะมีค่าสัมประสิทธิ์การแพร่ต่ำ ทำให้เกิดการเกาะกันเป็นกลุ่มเล็ก ๆ กระจุกกระจาย และเกิดเป็นโครงสร้างผลึกที่มีลักษณะเรียวยาวแหลมแบบ Tapers Crystallites จากนิเวศที่ยึดที่มีปริมาณจำกัด ทำให้เกิดความหนาแน่นของโครงสร้างต่ำ มีช่องว่างขนาดความกว้างในระดับ 100 Å ที่ T/T_m เท่ากับ 0 - 0.1 ที่ความดัน 1 mtorr ถ้าความดันสูง บริเวณนี้จะขยายกว้างสู่บริเวณที่มีอุณหภูมิสูงขึ้น และทำให้ขนาดของผลึกเพิ่มขึ้น ถ้า T/T_m เพิ่มขึ้น เนื่องจากที่ความดันสูงความหนาแน่นของแก๊สในภาชนะสุญญากาศมีมากขึ้น อนุภาคของสารเคลือบจะเคลื่อนที่ตกลงมาได้ยากขึ้น ทำให้อนุภาคของสารเคลือบตกลงมาได้น้อย และขณะที่ตกอาจรวมตัวกับอนุภาคอื่น ทำให้อนุภาคที่ตกลงมามีขนาดใหญ่ และมีเวลาในการเคลื่อนที่เพื่อฟอร์มตัวเป็นนิเวศียสมมากขึ้น จึงทำให้ช่องว่างระหว่างเกรนมีขนาดใหญ่เกิดขึ้น ลักษณะของฟิล์มบางที่ขรุขระมักจะเกิดจากความไม่สม่ำเสมอของการโตของนิเวศียส โดยอุณหภูมิที่มีผลต่อการโตของฟิล์มมักจะมาจากไอออนที่ระดมยิงเป็นส่วนใหญ่

2. บริเวณ T (Zone T) เป็นบริเวณต้นแบบสำหรับการเคลือบฟิล์มด้วยระบบสปัตเตอร์ โดยที่ค่าของ T/T_m อยู่ในช่วง 0.1 - 0.5 ที่ความดันขณะเคลือบประมาณ 1 mtorr เกิดในช่วงระหว่างบริเวณ 1 และบริเวณ 2 อะตอมที่อยู่บนผิววัสดุรองรับจะมีปริมาณมากขึ้น และได้รับพลังงานจากการชนของอนุภาคสารเคลือบ ทำให้อุณหภูมิของวัสดุรองรับเพิ่มขึ้น ค่า Surface Mobility จะเพิ่มขึ้น และ โครงสร้างในบริเวณ 1 ก็จะเข้าสู่บริเวณ T ซึ่งจะเริ่มมีเกรนยาว (Fibrous Grain) เต็มพื้นที่ และขอบเกรนมีความหนาแน่นสูงขึ้นจึงมีการแพร่ของอะตอมผ่านขอบเกรนที่ไม่แข็งแรงนั้นเข้าเป็นเนื้อเดียวกัน จนกลายเป็นคอลัมน์นาร์ (Columnar) ต่อไป โดยปราศจากช่องว่างบริเวณที่ขอบ

3. บริเวณ 2 (Zone II) ที่บริเวณ 2 จะมีค่า T/T_m อยู่ระหว่าง 0.5 - 0.8 ที่ความดันขณะเคลือบประมาณ 1 mtorr จะเกิดการแพร่ที่รอยต่อระหว่างขอบเกรน จนเกิดเป็น โครงสร้างแบบคอลัมน์นาร์ที่เกิดจากการอยู่กันอย่างหนาแน่นของผลึกทั้งหลาย ขนาดของเกรนและความหนาของฟิล์มจะเพิ่มขึ้น เนื่องจากอุณหภูมิในการเคลือบและอัตราการเคลือบเพิ่ม (มีผลต่อ Surface Mobility ของอะตอม) และขนาดของคอลัมน์นาร์จะเพิ่มขึ้นเรื่อย ๆ เมื่ออุณหภูมิเพิ่มขึ้น เนื่องจากการแพร่ที่บริเวณรอยต่อระหว่างขอบคอลัมน์นาร์

4. บริเวณ 3 (Zone III) บริเวณนี้อุณหภูมิสูงสุดและค่า T/T_m อยู่ระหว่าง 0.8 - 1.0 ที่ความดันขณะเคลือบประมาณ 1 mtorr การแพร่จะมีค่าสูง และส่งผลต่อ โครงสร้างสุดท้าย โครงสร้างที่ได้จะเป็นเกรนที่มีด้านเท่ากันหมด ขนาดของ คอลัมน์นาร์ จะมีขนาดใหญ่ และความหนาแน่นเพิ่มขึ้นอย่างไรก็ตามที่อุณหภูมิสูงอาจจะทำให้เกิดการจัดเรียงผลึกใหม่ (Recrystallization) เนื่องมาจากพลังงานสะสมของความเครียด (Stored Strain Energy) ที่เกิดขึ้นตั้งแต่ตอนเคลือบเกรนที่เกิดขึ้นในขั้นตอนนี้จะเปลี่ยนจาก คอลัมน์นาร์ เป็นผลึกเดี่ยว



ภาพที่ 2-2 โครงสร้างของการเกิดฟิล์มในรูปแบบต่าง ๆ (ซีวาร์ตัน ม่วงพัฒน, 2544)

การเคลือบฟิล์มบางด้วยวิธีสปัตเตอริง

การเคลือบด้วยวิธีสปัตเตอริง เป็นกระบวนการพอกพูนของชั้นฟิล์มบางที่เกิดจากสารเคลือบที่ได้จากกระบวนการสปัตเตอริง การเคลือบด้วยวิธีนี้เกิดขึ้นเมื่ออะตอมของสารเคลือบที่ได้จากกระบวนการสปัตเตอริงวิ่งเข้าชนวัสดุรองรับและมีการพอกพูนและโตเป็นฟิล์มบางในที่สุด กระบวนการสปัตเตอริงคือการทำให้อะตอมหลุดจากผิวของวัสดุโดยการชนของอนุภาคพลังงานสูงแล้วมีการแลกเปลี่ยนพลังงานและโมเมนตัมระหว่างอนุภาคที่วิ่งเข้าชนกับอะตอมที่ผิวสารเคลือบ โดยอนุภาคที่วิ่งเข้าชนอาจเป็นกลางทางไฟฟ้าหรือมีประจุก็ได้ และเนื่องจากไอออนที่ได้จากกระบวนการสปัตเตอริงในการเคลือบฟิล์มบางด้วยวิธีสปัตเตอริงจะเคลื่อนที่ด้วยความเร็วสูงกว่าวิธีการระเหยสารมาก ดังนั้นเมื่ออะตอมของสารเคลือบวิ่งเข้ากระทบแผ่นวัสดุรองรับก็จะฝังตัวแน่นลงในเนื้อวัสดุที่ต้องการเคลือบมากกว่าวิธีการระเหยสาร ดังนั้นการเคลือบด้วยวิธีสปัตเตอริงจะทำให้การยึดเกาะระหว่างสารเคลือบกับวัสดุรองรับดีกว่า (พิเชษฐ ลิ้มสุวรรณ และธนัสถา รัตนะ, 2547; Chapman, 1980)

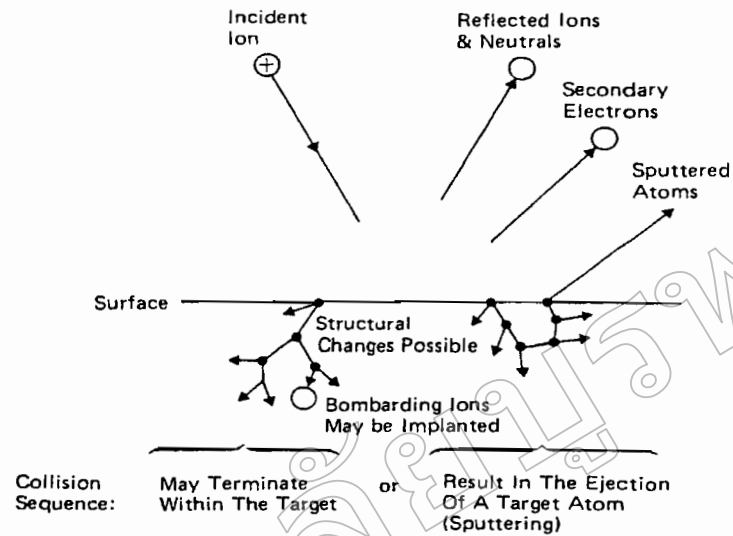
เมื่อผิวหน้าของวัสดุถูกระดมยิงด้วยอนุภาคพลังงานสูงจะทำให้เกิดการสีกกร่อนและมีอนุภาคที่ผิวหน้าของวัสดุนั้นหลุดมา เนื่องจากการชนของอนุภาคพลังงานสูงกับอนุภาคที่ผิวหน้าปรากฏการณ์ที่อนุภาคผิวหน้าวัสดุหลุดออกมาเรียกว่า สปัตเตอริง (Sputter) หรือสปัตเตอริง (Sputtering) กระบวนการสปัตเตอริงนี้ถูกค้นพบครั้งแรกเมื่อ 100 กว่าปีที่ผ่านมาโดย grove ซึ่งในขณะนั้นสปัตเตอริงเป็นกระบวนการที่ทำให้เกิดความเสียหายกับคาโทดและกริดในหลอดคิซซาร์จ แต่ปัจจุบันมีการนำมาประยุกต์ใช้อย่างกว้างขวางเช่น การทำความสะอาดผิวหน้า (Surface Cleaning) การกัดเซาะ (Etching) การวิเคราะห์ชั้นผิวหน้าของวัสดุ (Surface Layer Analysis) และการเคลือบฟิล์มบาง

สำหรับแนวคิดเบื้องต้นเกี่ยวกับกระบวนการสปัตเตอริง อธิบายได้ดังนี้

1. อันตรกิริยาระหว่างไอออนและผิวเป้าสารเคลือบ เมื่อวิ่งชนผิวหน้าวัสดุจะเกิดปรากฏการณ์ดังนี้

1.1 การสะท้อนที่ผิวหน้าของไอออน (Reflected Ion and Neutral) ไอออนอาจสะท้อนกลับจากผิวหน้าซึ่งส่วนใหญ่จะสะท้อนออกมาในรูปของอะตอมที่เป็นกลางทางไฟฟ้าอันเกิดจากการรวมตัวกับอิเล็กตรอนที่ผิวเป้าสารเคลือบ

1.2 การปลดปล่อยอิเล็กตรอนทุติยภูมิ (Secondary Electron Emission) จากการชนของไอออนอาจทำให้เกิดการปลดปล่อยอิเล็กตรอนทุติยภูมิที่สองจากเป้าสารเคลือบถ้าไอออนนั้นมีพลังงานสูงพอ



ภาพที่ 2-3 อันตรกิริยาระหว่างไอออนกับพื้นผิววัสดุ (Chapman, 1980)

1.3 การฝังตัวของไอออน (Ion Implantation) ไอออนที่วิ่งชนเป้าสารเคลือบนั้นอาจฝังตัวลงในสารเคลือบ โดยความลึกของการฝังตัวจะแปรผันโดยตรงกับพลังงานไอออน ซึ่งมีค่า 10 อังสตรอม/ พลังงานไอออน 1 keV สำหรับไอออนของแก๊สอาร์กอนที่ฝังตัวในทองแดง

1.4 การเปลี่ยน โครงสร้างของผิวสารเคลือบ (Target Material Structural Rearrangements) การชนของ ไอออนบนผิวสารเคลือบทำให้เกิดการเรียงตัวของอะตอมที่ผิวสารเคลือบใหม่และเกิดความบกพร่องของผลึก (Lattice Defect) โดยเรียกการจัดตัวใหม่ของโครงสร้างผิวหน้านี้ว่า Altered Surface Layer

1.5 การสปัตเตอร์ (Sputter) การชนของไอออนอาจทำให้เกิดกระบวนการชนกันแบบต่อเนื่องระหว่างอะตอมของเป้าอันทำให้เกิดการปลดปล่อยอะตอมจากเป้าสารเคลือบซึ่งเรียกว่ากระบวนการสปัตเตอร์ริง

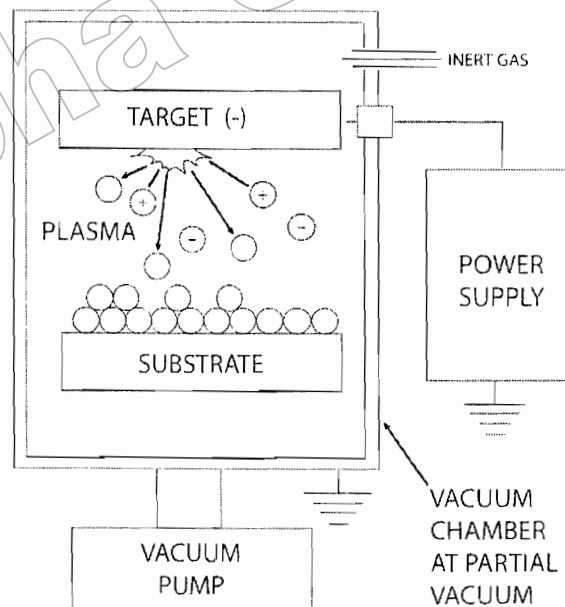
2. กระบวนการสปัตเตอร์ริง เป็นกระบวนการที่อะตอมผิวหน้าของวัสดุถูกทำให้หลุดออกมาด้วยการชนของอนุภาคพลังงานสูง โดยมีการแลกเปลี่ยนพลังงานและโมเมนตัมระหว่างอนุภาคที่วิ่งเข้าชนกับอะตอมที่ผิววัสดุดังกล่าว กระบวนการนี้อาจเป็นกึ่งกลางทางไฟฟ้าหรือมีประจุก็ได้ ดังนั้นสิ่งที่จำเป็นในกระบวนการสปัตเตอร์ริง คือ

2.1 เป้าสารเคลือบ ทำหน้าที่เป็นเป้าให้อนุภาคพลังงานสูงวิ่งเข้าชนจนมีการปลดปล่อยอะตอมของสารเคลือบลงเคลือบบนวัสดุรองรับ

2.2 อนุภาคพลังงานสูง ซึ่งวิ่งชนเป้าสารเคลือบ แล้วทำให้อะตอมของเป้าสารเคลือบหลุดออกมา ปกติอนุภาคพลังงานสูงนี้อาจเป็นกึ่งกลางทางไฟฟ้า เช่น นิวตรอน หรืออะตอมของธาตุ

ต่าง ๆ แต่การทำให้อนุภาคที่เป็นกลางมีพลังงานสูงเกิน 10 eV เพื่อใช้ในกระบวนการสปัตเตอร์ริงทำได้ค่อนข้างยาก วิธีการหนึ่งที่น่าสนใจคือการเร่งอนุภาคประจุภายใต้สนามไฟฟ้า ซึ่งสามารถควบคุมระดับพลังงานไอออนตามต้องการ อิเล็กตรอนเป็นอนุภาคที่มีประจุชนิดหนึ่งที่เกิดได้ง่ายและสามารถเร่งให้มีพลังงานสูงภายใต้สนามไฟฟ้าได้ แต่อิเล็กตรอนมีมวลน้อยกว่าอะตอมของสารเคลือบมากทำให้การถ่ายเทพลังงานและ โมเมนตัมต่ออะตอมสารเคลือบนั้นเป็นไปได้โดยไม่มีประสิทธิภาพและไม่สามารถทำให้กระบวนการสปัตเตอร์ริงเกิดขึ้นได้ ตามทฤษฎีทางฟิสิกส์การชนกันระหว่าง 2 อนุภาคที่มีการส่งถ่ายพลังงานและ โมเมนตัมดีที่สุดจะเกิดขึ้นเมื่อมวลของอนุภาคทั้งสองมีค่าเท่ากันดังนั้นเราจึงเลือกการเร่งไอออนของก๊าสในสนามไฟฟ้าเป็นอนุภาควิ่งชนเป้าสารเคลือบซึ่งให้อัตราการปลดปล่อยเป้าสารเคลือบสูงเพียงพอกับความต้องการ

2.3 การผลิตอนุภาคพลังงานสูง อนุภาคพลังงานสูงในระบบสปัตเตอร์ริงนี้จะต้องถูกผลิตขึ้นอย่างต่อเนื่อง เพื่อให้กระบวนการเคลือบสารเกิดขึ้นได้อย่างต่อเนื่องจนได้ความหนาฟิล์มบางตามต้องการ ทั้งนี้สามารถทำได้หลายวิธี เช่นการใช้ลำอนุภาคจากปืนไอออนที่มีปริมาณการผลิตไอออนในอัตราสูงหรือผลิตจากกระบวนการโกลว์ดีสชาร์จ เนื่องจากปืนไอออนมีราคาค่อนข้างสูงและให้ไอออนในพื้นที่แคบ กระบวนการสปัตเตอร์ริงทั่วไปในระดับอุตสาหกรรมจึงนิยมใช้กระบวนการโกลว์ดีสชาร์จในการผลิตอนุภาคพลังงานสูง



ภาพที่ 2-4 ลักษณะของเครื่องเคลือบสุญญากาศด้วยวิธีสปัตเตอร์ริง

3. ค่าyield ของสปัตเตอริง (Sputtering Yield: S) คือ ค่าเฉลี่ยปริมาณการหลุดของอะตอมเป้าสารเคลือบต่อปริมาณการชนของไอออน 1 อนุภาค มีหน่วยเป็น อะตอมต่อไอออน โดยการวัดค่าyield นี้ สามารถทำได้โดยการหาน้ำหนักหรือความหนาที่ลดลงของเป้าสารเคลือบ หรือหาได้จากวัสดุทั้งหมดที่ถูกสปัตเตอริ่ง หรืออาจหาได้จากการตรวจวัดสปัตเตอริ่งอะตอม (Sputter Atom) ขณะที่ยังฟุ้งกระจาย (พิเศษฐ ลิ้มสุวรรณ และธนัสดา รัตนะ, 2547) ค่าyield ของกระบวนการสปัตเตอริงจะเปลี่ยนไปตามภาวะต่าง ๆ ดังนี้

3.1 เปลี่ยนแปลงตามพลังงานไอออน การชนของอนุภาค 2 อนุภาคในแนวเดียวกัน การถ่ายเทพลังงานระหว่างอนุภาคจะเป็นไปตามสมการที่ 2-1

$$\Delta E = \frac{4mM}{(m+M)^2} \quad (2-1)$$

เมื่อ	ΔE	คือพลังงานที่ถ่ายเทระหว่างอนุภาค
	m	คือมวลอะตอมที่ถูกชน
	M	คือมวลของอะตอมที่วิ่งเข้าชน

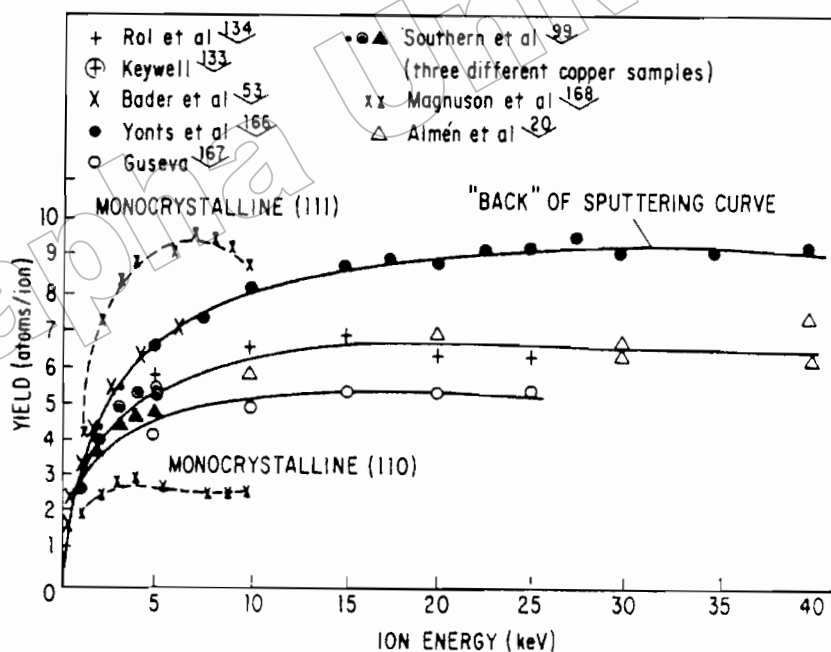
เมื่อพลังงานไอออนมีค่าต่ำมากค่าyield จากกระบวนการสปัตเตอริง จะมีค่าเป็นศูนย์ เนื่องจากไม่สามารถเอาชนะแรงยึดเกาะระหว่างอะตอมบนเป้าสารเคลือบได้ เมื่อไอออนมีพลังงานสูงขึ้นเกินกว่า $4H$ (H คือค่าพลังงานเฉลี่ยที่ใช้ในการระเหิด 1 อะตอม จากผิวสารเคลือบ) ถ้าพลังงานไอออนสูงมากพอในการทำให้เกิดกระบวนการชนอย่างต่อเนื่องระหว่างอะตอมสารเคลือบและเริ่มมีการปลดปล่อยอะตอมสารเคลือบ เรียกพลังงานค่านี้ว่า พลังงานขีดเริ่ม (Threshold Energies) ซึ่งเปลี่ยนแปลงไประหว่างคู่การชนของอนุภาค (ตารางที่ 2-1)

เมื่อไอออนชนมีพลังงานสูงขึ้นyield จะเพิ่มขึ้นอย่างรวดเร็วแบบเอ็กซ์โพเนนเชียลในช่วงแรกและเปลี่ยนเป็นการเพิ่มแบบเชิงเส้นจากนั้นจึงมีการอิ่มตัว (Saturation) ของค่าyield เมื่อพลังงานไอออนมีค่าสูงมาก ทั้งนี้เนื่องจากไอออนพลังงานสูงมีโอกาสในการฝังตัวบนผิวเป้าสารเคลือบสูงขึ้นไปทำให้yield ของสารเคลือบมีค่าคงที่ จากนั้นจะมีค่าลดลงเล็กน้อยเมื่อเพิ่มพลังงานไอออนให้สูงมากขึ้น ดังแสดงในภาพที่ 2-5

ตารางที่ 2-1 พลังงานขีดเริ่มของเป้าสารเคลือบชนิดต่าง ๆ (Maissel & Glang, 1970)

	Ne	Ar	Kr	Xc	Hg		Ne	Ar	Kr	Xe	Hg
Be	12	15	15	15	-	Mo	24	24	28	27	32
Al	13	13	15	18	18	Rh	25	24	25	25	-
Ti	22	20	17	18	25	Pd	20	20	20	15	20
C	21	23	25	28	25	Ag	12	15	15	17	-
Cr	22	22	18	20	23	Ta	25	26	30	30	30
Fe	22	20	25	23	25	W	35	33	30	30	30
Co	20	25	22	22	-	Re	35	35	25	30	35
Ni	23	21	25	20	-	Pt	27	25	22	22	25
Cu	17	17	16	15	20	Au	20	20	20	18	-
Ge	223	25	22	18	25	Th	20	24	25	25	-
Zr	23	22	18	25	30	U	20	23	25	22	27
Nb	27	25	26	32	-						

Boldface values are those for which the energy-transfer factor $4m_1m_2/(m_1+m_2)^2$ is 0.9 or higher



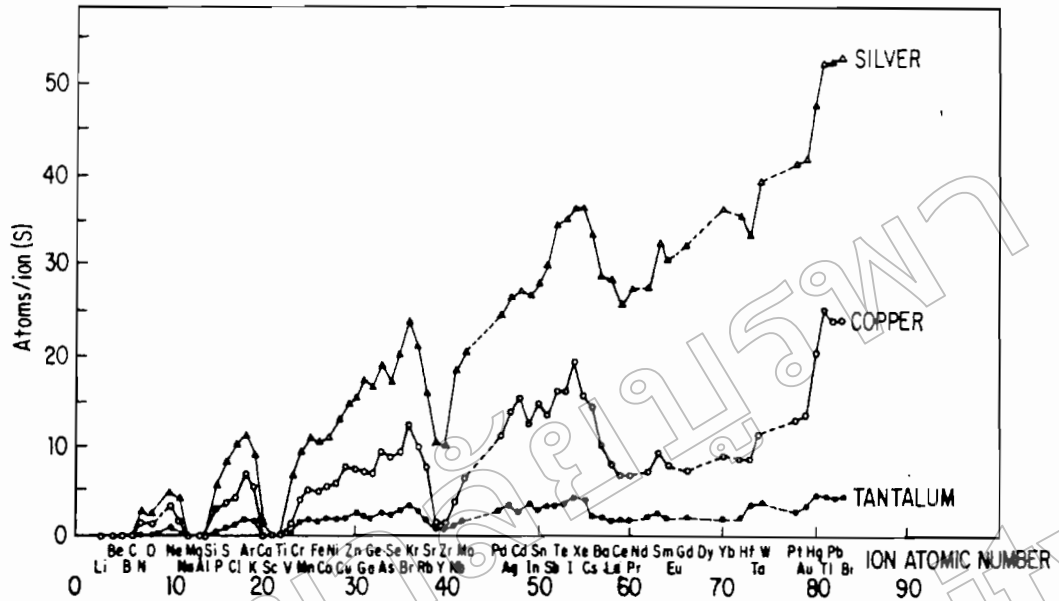
ภาพที่ 2-5 ยี่ลัดของทองแดงที่ถูกชนด้วยไอออนจากแก๊สอาร์กอนที่พลังงานต่าง ๆ

(Maissel & Glang, 1970)

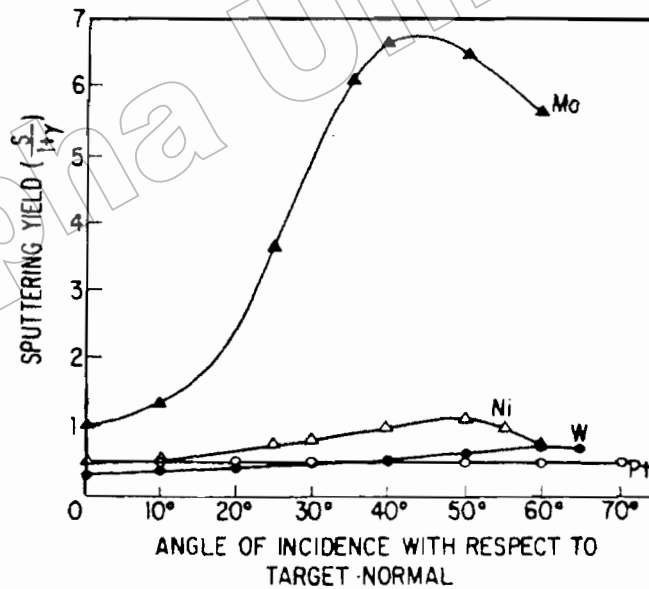
3.2 เปลี่ยนแปลงตามระนาบผลึกของผิวเป้าสารเคลือบ จากการทดลองพบว่าเมื่อใช้เป้าสารเคลือบที่เป็นผลึกเดี่ยวค่าyieldจะมีค่ามากที่สุดเมื่อไอออนชนเป้าในแนวระนาบที่มีอะตอมหนาแน่นที่สุด และมีค่าต่ำในระนาบที่มีอะตอมเบาบาง ในทองแดงซึ่งมีโครงสร้างผลึกแบบ FCC (Face Centered Cubic) พบว่าการชนบนระนาบ (111) ซึ่งมีความหนาแน่นอะตอมสูงสุด yield จะมีค่าสูงสุดเมื่อใช้ค่าพลังงานไอออนในการชนค่าเดียวกัน ส่วนระนาบที่มีความหนาแน่นอะตอมต่ำ ไอออนมีแนวโน้มวิ่งฝังตัวในเป้าสารเคลือบมากขึ้น

3.3 เปลี่ยนแปลงตามชนิดของไอออนที่ชนเป้าสารเคลือบ ค่าyield จากเป้าสารเคลือบชนิดเดียวกัน เมื่อใช้ไอออนต่างชนิดกันวิ่งชนจะมีค่าแตกต่างกันออกไป แม้สมการที่ 1 แสดงให้เห็นว่าการถ่ายเทพลังงานระหว่าง 2 อนุภาคที่ชนกันจะมีค่าสูงสุดเมื่อมวลของอะตอมทั้งสองมีค่าเท่ากัน แต่อะตอมบนเป้าสารเคลือบยึดเกาะกับอะตอมข้างเคียงจึงทำตัวเสมือนมีมวลยังผลสูงกว่ามวลของอะตอมเดี่ยวจึงพบว่า yield มีค่าสูงขึ้นเมื่อใช้ไอออนที่มีมวลสูงกว่ามวลของอะตอมเป้าสารเคลือบ ภาพที่ 2-6 แสดงการเปลี่ยนแปลงของค่า yield พบว่ามีค่าสูงสุดเป็นช่วง ๆ ณ ตำแหน่งที่ใช้ไอออนจากแก๊สเฉื่อย คือแก๊ส Ne, Ar, Kr, และ Xe ซึ่งเป็นอะตอมที่มีอิเล็กตรอนครบ 8 ในวงนอกสุด สาเหตุของการเกิดจุดสูงสุดของค่า yield เป็นช่วง ๆ นี้ยังไม่มีการอธิบายที่ชัดเจน

3.4 เปลี่ยนแปลงตามมุมตกกระทบของไอออนบนเป้าสารเคลือบ จากการทดลองพบว่าเมื่อเพิ่มมุมเอียงของการชนจากไอออนบนเป้ามามากขึ้น yield จะมีค่าสูงขึ้นตามมุมที่เอียง เนื่องจากอะตอมสารเคลือบที่หลุดออกมาเปลี่ยนจาก การกระเจิงกลับ (Back Scattering) เป็นการกระเจิงไปข้างหน้า (Forward Scattering) ซึ่งเป็นกระบวนการที่ต้องการจำนวนครั้งของการชนระหว่างอะตอมน้อยกว่าทำให้ yield สูงขึ้นจนถึงจุดหนึ่งซึ่งมีค่าสูงสุดที่องศาเอียงมากกว่า 45° จากนั้น yield จะมีค่าลดลงเมื่อมุมสูงขึ้น และเป็นศูนย์เมื่อมุมเอียงมีค่า 90° โดยขณะนั้นพื้นที่การชนเมื่อมองจาก ไอออนมีค่าเป็นศูนย์ ภาพที่ 2-7



ภาพที่ 2-6 การเปลี่ยนแปลงค่าyield ของเป้าทองแดง (Cu) , เงิน (Ag) และแทนทาลัม (Ta) เมื่อใช้ไอออนพลังงาน 45 keV จากธาตุที่มีเลขอะตอมค่าต่าง ๆ (Maissel & Glang, 1970)



ภาพที่ 2-7 การเปลี่ยนแปลงของyield เมื่อใช้ไอออนของปรอทพลังงาน 200 eV ชนเป้านิกเกิล (Ni), โมลิบดีนัม (Mo) , ทังสเตน (W) และทองคำขาว (Pt) ที่มุมการตกกระทบค่าต่าง ๆ (วัดเทียบกับแนวขนตั้งฉากบนเป้า) (Maissel & Glang, 1970)

4. ความเร็วและพลังงานของอะตอมที่ถูกสปัตเตอร์หลุดออกจากผิวหน้าเป้าสารเคลือบด้วยวิธีการสปัตเตอร์มีพลังงานจลน์ค่อนข้างสูงและมากกว่าพลังงานของอะตอมที่หลุดออกด้วยวิธีการระเหยสารประมาณ 50 - 100 เท่า อะตอมมีการกระจายพลังงานแบบ Maxwellian โดยที่พลังงานส่วนใหญ่มีค่าต่ำกว่า 10 eV และอีกส่วนหนึ่งมีพลังงานระหว่าง 10 - 40 eV ถ้าไอออนที่ใช้มีพลังงานสูงขึ้น พลังงานเฉลี่ยของอะตอมจากสปัตเตอร์จึงจะมีค่าสูงขึ้นจนเมื่อไอออนที่วิ่งชนมีพลังงานเกิน 1 keV พลังงานเฉลี่ยของอะตอมจากการสปัตเตอร์จะไม่เพิ่มขึ้นและเป้าที่มีค่ายึดสูงมีแนวโน้มทำให้พลังงานเฉลี่ยของอะตอมที่หลุดออกมามีค่าต่ำ เนื่องจากไอออนที่วิ่งชนเมื่อเฉลี่ยพลังงานให้กับอะตอมที่หลุดออกมาจำนวนมาก อะตอมแต่ละตัวจะรับพลังงานเฉลี่ยจากไอออนได้น้อยลง

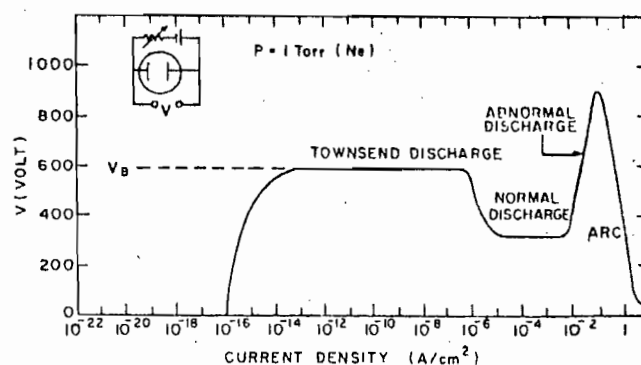
กระบวนการโกลด์ดิซชาร์จ

พิเชษฐ คุ้มสุวรรณ และธนาศธา รัตนะ (2547) ได้อธิบายกระบวนการโกลด์ดิซชาร์จไว้ดังนี้ เมื่อป้อนแรงดันไฟฟ้ากระแสตรงให้กับขั้วอิเล็กโทรด 2 ขั้ว ที่วางห่างกันเป็นระยะ d ภายใต้ความดันประมาณ 1.33 mbar ของแก๊สไนออน พบว่าช่วงแรกที่เพิ่มแรงดันทางไฟฟ้าจะมีกระแสไหลในวงจรมีน้อยมาก กระแสส่วนนี้เกิดจากการเคลื่อนที่ของอิเล็กตรอนและไอออนของแก๊สที่เกิดขึ้นตลอดเวลาในบรรยากาศเนื่องจากการชนของรังสีคอสมิกและถูกเร่งภายใต้สนามไฟฟ้า กระแสนี้จะมีค่าค่อนข้างคงที่เพราะอัตราการเกิดประจุขึ้นอยู่กับความเข้มของรังสี เมื่อศักย์ไฟฟ้าเพิ่มขึ้นใกล้ค่าแรงดันไฟฟ้าที่ทะลุ (Breakdown Voltage: VB) พลังงานของประจุที่ถูกเร่งภายใต้สนามไฟฟ้าจะมีค่าสูงขึ้นจนสามารถชนโมเลกุลของแก๊สทำให้เกิดการแตกตัวเป็นไอออนบวกและอิเล็กตรอนซึ่งถูกเร่งภายใต้สนามไฟฟ้าให้มีการชนและเกิดการไอออไนซ์เพิ่มขึ้น ส่วนของไอออนบวกจะถูกเร่งเข้าชนคาโทด จนเกิดการปลดปล่อยอิเล็กตรอนทุติยภูมิ (Secondary Electron) เรียกกระบวนการช่วงนี้ว่า ทาวนด์เซนต์ดิซชาร์จ (Townsend Discharge)

เมื่อแรงดันไฟฟ้าเพิ่มขึ้นถึงแรงดันไฟฟ้าที่ละลายจะเกิดกระบวนการถล่ม (Avalanche) ทำให้ปริมาณไอออนบวกวิ่งเข้าชนคาโทดมากขึ้นและมีการปลดปล่อยอิเล็กตรอนทุติยภูมิมากขึ้น ซึ่งจะถูกร่งให้วิ่งเข้าหาอโนดขณะเดียวกันอิเล็กตรอนทุติยภูมินี้ก็จะมีการชนกับโมเลกุลของแก๊สทำให้เกิดไอออนมากขึ้น สุดท้ายไอออนบวกที่เพิ่มขึ้นมากขึ้นนี้จะวิ่งเข้าชนคาโทดแล้วเกิดการปลดปล่อยอิเล็กตรอนทุติยภูมิเพิ่มขึ้นตามมาด้วย และชนโมเลกุลแก๊สทำให้เกิดผลิตไอออนเพิ่มขึ้น ทำให้กระแสเพิ่มขึ้นอย่างรวดเร็วจนมีปริมาณไอออนมากเพียงพอที่จะผลิตอิเล็กตรอนได้ในจำนวนคงที่ ช่วงนี้ระบบสามารถรักษาสภาพดิซชาร์จได้ด้วยตนเองโดยไม่ต้องอาศัยแหล่งกำเนิดจากรังสีภายนอกในการผลิตไอออน ช่วงนี้แก๊สภายในระบบจะเกิดการเรืองแสงขึ้น แรงดันไฟฟ้าระหว่าง

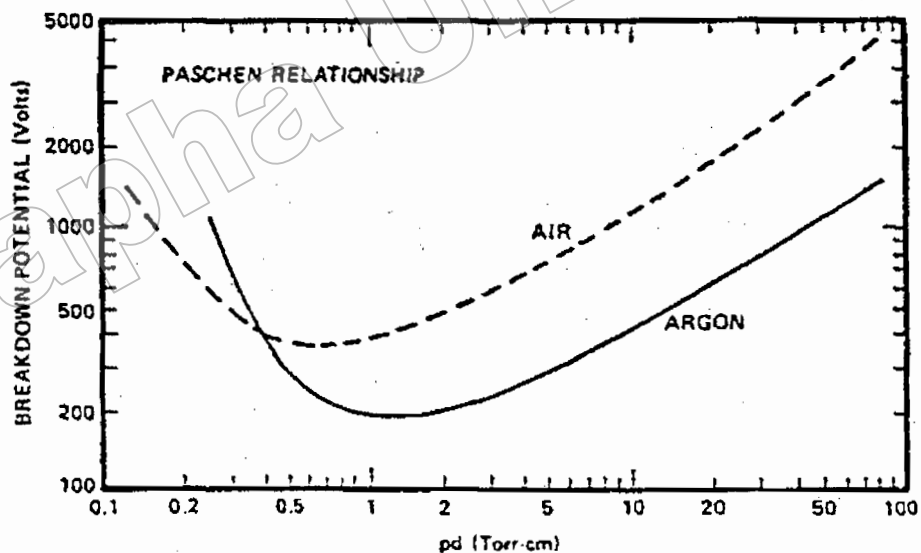
อิเล็กโตรดลดค่าลงและกระแสไฟฟ้าเพิ่มขึ้นอย่างรวดเร็วเรียก การเรืองแสงปกติ หรือ นอร์มอล โกลว์ (Normal Glow) สถานะนี้อัตราการปลดปล่อยอิเล็กตรอนทุติยภูมิต่ออัตราการชนของไอออน มีค่าค่อนข้างต่ำ คือประมาณ 0.1 สำหรับเป้าคาโทดที่ทำจากวัสดุทั่วไป โดยในช่วงเริ่มต้นของการเรืองแสงหรือ โกลว์ การชนของไอออนบนคาโทดจะปรับตัวเองให้เกิดขึ้น ในบางบริเวณ แนวการเรืองแสงอาจเลื่อนไปมาได้และการชนของไอออนบนคาโทด ไม่มีความสม่ำเสมอ โดยจะมีความเข้มของบริเวณการเรืองแสงตามแนวขอบหรือมุมของคาโทดที่มีสนามไฟฟ้าสูงเพื่อรักษาสภาพการ โกลว์ (Self-Sustaining) บางบริเวณไว้ เมื่อกระแสไฟฟ้ามีค่าเพิ่มขึ้นตามแนวการชนของไอออนจะค่อย ๆ ขยายตัว เพิ่มพื้นที่จนครอบคลุมตลอดผิวคาโทด จนกระทั่งมีค่าความหนาแน่นกระแส เท่ากันตลอด โดยมีค่าแรงดันไฟฟ้าระหว่างขั้วอิเล็กโตรดคงที่

หลังจากการชนของไอออนครอบคลุมพื้นที่ทั้งหมดของคาโทดแล้ว การเพิ่มกำลังไฟฟ้าเข้าสู่ระบบจะทำให้ทั้งแรงดันไฟฟ้าและกระแสไฟฟ้ามีค่าเพิ่มขึ้น เรียกว่า ช่วงการเรืองแสงผิดปกติ เปล่งแสงจ้าขึ้น หรือ แอบนอร์มอล โกลว์ (Abnormal Glow) เป็นช่วงที่ใช้กับระบบสเป็คโตริง และ อื่นๆ ระบบของกระบวนการเกี่ยวข้องกับ โกลว์ดีสชาร์จ ช่วงนี้ถ้าไม่ระบายความร้อนให้กับคาโทด เมื่อความหนาแน่นของกระแสของคาโทดเพิ่มขึ้นสูงประมาณ 0.1 A/cm^2 ความร้อนที่เกิดจากการชนของไอออนบนคาโทดมีมากขึ้น จนเกิดการปล่อยอิเล็กตรอนแบบเทอร์มิออนิก (Thermionic Electron Emission) เสริมกับการปลดปล่อยอิเล็กตรอนทุติยภูมิและติดตามด้วยกระบวนการถล่มอีกครั้งหนึ่ง ทำให้ความนำไฟฟ้าของแก๊สในระบบสูงขึ้นอย่างรวดเร็ว แรงดันไฟฟ้าระหว่างขั้วอิเล็กโตรดตกลงมากขณะที่กระแสไฟฟ้าเพิ่มสูงขึ้นและเปล่งประกายจ้าของการอาร์ค (Arc Discharge) ภาพที่ 2-8

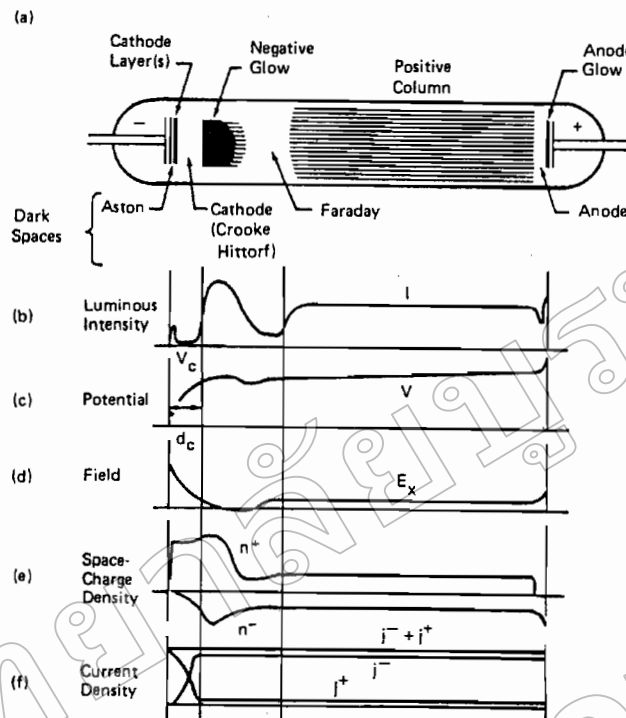


ภาพที่ 2-8 ความสัมพันธ์ของความหนาแน่นกระแสและแรงดันไฟฟ้าระหว่างขั้วอิเล็กโตรดของกระบวนการเกิด ดีซี โกลว์ดีสชาร์จ ในหลอดสุญญากาศบรรจุแก๊สนีออน (Vossen & Kerns, 1978)

ค่าแรงดันไฟฟ้าที่ละลายในกระบวนการ โกลว์ดีสชาร์จจะมีค่าเปลี่ยนแปลงไปกับระยะทาง d ระหว่างอิเล็กโทรดและระยะปลอดการชนระหว่างอิเล็กตรอนทุติยภูมิ และโมเลกุลของแก๊ส (ระยะปลอดการชนของอิเล็กตรอนทุติยภูมินี้จะแปรผกผันกับความดัน และมีค่ามากกว่าระยะปลอดการชนของการชนกันเองระหว่าง โมเลกุลแก๊ส) ปกติอิเล็กตรอนทุติยภูมิแต่ละตัวมีความสามารถในการผลิตไอออนบวกได้ระหว่าง 10 ถึง 20 ตัว เพื่อให้เกิดกระบวนการถล่มในช่วงของนอร์มอล โกลว์ ถ้าความดันต่ำเกินไป (ระยะปลอดการชนยาวขึ้น) หรือระยะทาง d มีค่าน้อยเกินไป อิเล็กตรอนทุติยภูมิจะไม่สามารถผลิตไอออนได้มากพอก่อนการชนกับอากาศ ถ้าความดันสูงเกินไป (ระยะปลอดการชนสั้นลง) หรือระยะ d มากเกินไป อิเล็กตรอนทุติยภูมิไม่สามารถเพิ่มพลังงานให้กับตัวเองในสนามไฟฟ้าได้มากพอสำหรับการไอออไนซ์ เมื่อเกิดการชนพลังงานจะถูกถ่ายทอดให้โมเลกุลแก๊สในรูปการกระตุ้น (Excite) ขึ้นไปอยู่ในระดับพลังงานที่สูงขึ้นทำให้ไม่สามารถผลิตไอออนบวกได้มากเพียงพอเช่นกัน ดังนั้นทั้งสองกรณีจะต้องใช้แรงดันทางไฟฟ้าที่ละลายค่อนข้างสูง โดยมีจุดหนึ่งระหว่างนี้ที่ใช้ค่าแรงดันไฟฟ้าที่ละลายต่ำสุดตามกฎของปาสเชน (Paschen's law) ซึ่งแสดงให้เห็นความสัมพันธ์ระหว่างแรงดันไฟฟ้าที่ละลายและผลคูณระหว่างความดันแก๊ส (P) และระยะระหว่างอิเล็กโทรด (d) (ภาพที่ 2-9)



ภาพที่ 2-9 ความสัมพันธ์ระหว่างแรงดันไฟฟ้าที่ละลายและผลคูณระหว่างความดัน (P) และระยะระหว่างอิเล็กโทรด (d) (Bunshah, 1994)



ภาพที่ 2-10 โกลว์ดีสชาร์จของหลอดนีออนยาว 50 cm ที่ความดัน 1.33 mbar (Chapman, 1980)

ในระบบสปัตเตอร์ซึ่งทั่วไปสถานะของการเกิด โกลว์ดีสชาร์จจะกระทำในช่วงที่ผลคูณของความดันกับระยะห่างระหว่างอิเล็กโทรด (Pxd) ซึ่งมีค่าต่ำกว่าจุดต่ำสุดของกราฟมาก (เนื่องจากการเคลือบฟิล์มที่ความดันต่ำทำให้ฟิล์มที่ได้มีคุณภาพดี การแทรกตัวของแก๊สในเนื้อฟิล์มน้อยและลดปริมาณสารปลอมปนในฟิล์ม) จึงต้องการแรงดันไฟฟ้าเริ่มต้นค่อนข้างสูง บางครั้งจึงมีความจำเป็นต้องใช้การเพิ่มความดันชั่วขณะเพื่อให้เริ่มการดีสชาร์จได้ที่แรงดันไฟฟ้าต่ำ

ส่วนต่าง ๆ ของกระบวนการ โกลว์ดีสชาร์จ แสดงได้ดังภาพที่ 2-10 แต่ละส่วนอธิบายได้ดังนี้ ช่วงแรกคือช่วงมืดแอสตัน (Aston Dark Space) เป็นบริเวณที่อิเล็กตรอนถูกปล่อยจากคาโทดด้วยพลังงานต่ำประมาณ 1 eV ซึ่งไม่สามารถไอออไนซ์โมเลกุลแก๊สได้ ทำให้เกิดเป็นช่วงมืด ถัดจากผิวคาโทดบริเวณที่มีการเปล่งแสงออกมาด้วยความเข้มสูงมากเรียกว่า คาโทดโกลว์ (Cathode Glow) เป็นบริเวณที่ไอออนของแก๊สจากการดีสชาร์จ และไอออนของอะตอมสารเคลือบซึ่งถูกผลิตขึ้นบริเวณคาโทดมีการรวมตัวเป็นกลางกับอิเล็กตรอนใกล้ผิวคาโทดด้วยกระบวนการต่าง ๆ ทำให้เกิดแสงซึ่งเป็นความถี่เฉพาะของสารที่ทำคาโทดและของแก๊สที่ใช้ เช่นถ้าคาโทดเป็นทองแดงจะมีสีเขียว ทองคำมีสีส้มแดง แก๊สอาร์กอนมีสีน้ำเงินฟ้า และแก๊สไนโตรเจนมีสีม่วง เป็นต้น

ถัดจากคาโทด โกลว์เรียกว่าช่วงมืดครุคหรือช่วงมืดคาโทด (Crook or Cathode Dark Space) พลังงานของอิเล็กตรอนมีค่าสูงกว่าพลังงานในการไอออไนซ์โมเลกุลของแก๊สเมื่อถูกเร่งผ่านสนามไฟฟ้าในระยะปลอดการชนออกมา ทำให้บริเวณปลอดการชนนั้นไม่มีกระบวนการกระตุ้นหรือไอออไนซ์เกิดขึ้น การปลดปล่อยแสงจึงไม่เกิดในช่วงนี้และกลายเป็นบริเวณมืด ถัดจากระยะปลอดการชนออกไปอิเล็กตรอนทุติยภูมิจะสูญเสียพลังงานส่วนใหญ่โดยการไอออไนซ์โมเลกุลของแก๊ส ไอออนบวกที่เกิดขึ้นเคลื่อนที่ได้ช้ากว่าอิเล็กตรอนมาก ทำให้ระยะปลอดการชนของอิเล็กตรอนมีการสะสมของไอออนบวกอยู่มาก (Positive Space Charge) ศักย์ไฟฟ้าเกือบทั้งหมดตกคร่อมบริเวณคาโทดาร์คสเปซนี้ ทำให้สนามไฟฟ้าบริเวณนี้สูงขึ้นมากและมากเกินไปในการเร่งอิเล็กตรอนชนและไอออไนซ์โมเลกุลของแก๊สในเวลาถัดมาจึงทำให้ภายหลังการเกิดออร์มอล โกลว์ แรงดันไฟฟ้าที่ตกคร่อมขั้วอิเล็กโตรดมีค่าลดลงตามกราฟดังภาพที่ 2-8 ส่วนอิเล็กตรอนเมื่อเลยจากบริเวณที่ผลิตไอออนของคาร์คสเปซแล้วจะมีพลังงานลดต่ำลงมาก ดังนั้นพลังงานที่เหลือจึงเพียงใช้ในการกระตุ้นโมเลกุลของแก๊สและเกิดการเรืองแสงขึ้นเมื่ออิเล็กตรอนจะเป็นอนุภาคที่เคลื่อนที่ได้เร็วแต่พลังงานที่เหลือน้อยรวมทั้งประจุบวกและประจุสะสมของไอออนทางด้านขั้วมือในบริเวณคาร์คสเปซทำให้อิเล็กตรอนใช้เวลาในการเคลื่อนที่ผ่านช่วงเรืองแสงนี้นานขึ้นและเกิดการสะสมประจุลบบริเวณนี้จึงเรียกว่า เนกาทีฟ โกลว์ (Negative Glow)

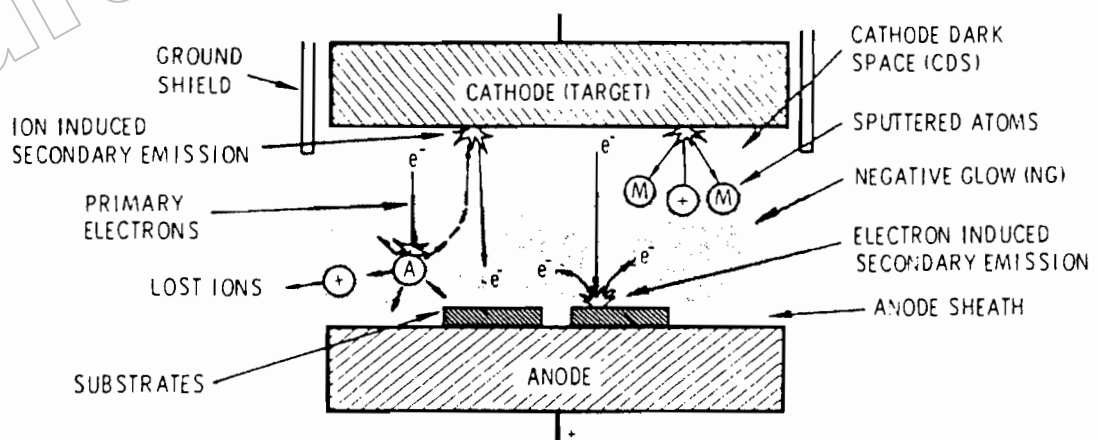
จากนั้นอิเล็กตรอนจะมีพลังงานลดลงจนไม่สามารถกระตุ้นโมเลกุลแก๊สให้เปลี่ยนไปอยู่ในระดับพลังงานสูงได้ ทำให้เกิดบริเวณมืดอีกช่วงหนึ่งเรียกว่า ช่วงมืดฟาราเดย์ (Faraday Dark Space) ถัดจากช่วงนี้กระบวนการที่เกิดขึ้นคล้ายกับการดิซชาร์จของทาวน์เซนด์ซึ่งมีปริมาณอิเล็กตรอนค่อนข้างคงที่ถูกเร่งภายใต้สนามไฟฟ้าค่าต่ำ ๆ ทำให้อิเล็กตรอนถูกเร่งเข้าสู่แอนอด และมีพลังงานสูงพอสำหรับการกระตุ้นโมเลกุลของแก๊สหรือไอออไนซ์และเกิดการเรืองแสงขึ้นที่บริเวณนี้อีกครั้งหนึ่ง อิเล็กตรอนซึ่งเคลื่อนที่เร็วจะถูกกวาดเข้าสู่แอนอดอย่างรวดเร็วทำให้พลาสมาบริเวณนี้มีประจุบวกสูงกว่าจึงเรียกว่า ลำเรืองแสงศักย์ไฟฟ้าบวก (Positive Glow Column)

เนื่องจากการรักษาสภาวะ โกลว์ดิซชาร์จขึ้นกับปริมาณของอิเล็กตรอนที่ถูกผลิตขึ้นบริเวณคาโทดจากการชนของไอออนที่ถูกผลิตบริเวณเนกาทีฟ โกลว์ จึงพบว่าการเปลี่ยนแปลงตำแหน่งแอนอดเพียงเล็กน้อยจะไม่มีผลต่อกระบวนการ โกลว์ดิซชาร์จ เมื่อเลื่อนแอนอดเข้าหาคาโทด จนพ้นช่วงมืดฟาราเดย์ เข้าสู่เนกาทีฟ โกลว์จนถึงช่วงคาโทดาร์คสเปซ ทำให้ปริมาณไอออนที่ถูกผลิตจากอิเล็กตรอนทุติยภูมิมีปริมาณน้อยลง การรักษาสภาพ โกลว์ดิซชาร์จไว้จำเป็นต้องใช้แรงดันไฟฟ้าที่สูงขึ้นซึ่งจะส่งผลถึงปริมาณไอออนที่ถูกผลิตสูงขึ้นด้วย การ โกลว์ในลักษณะนี้จะเรียกว่า ออปสตรัค โกลว์ (Obstructed Glow) และเมื่อเลื่อนแอนอดเข้าใกล้คาโทดต่อมา

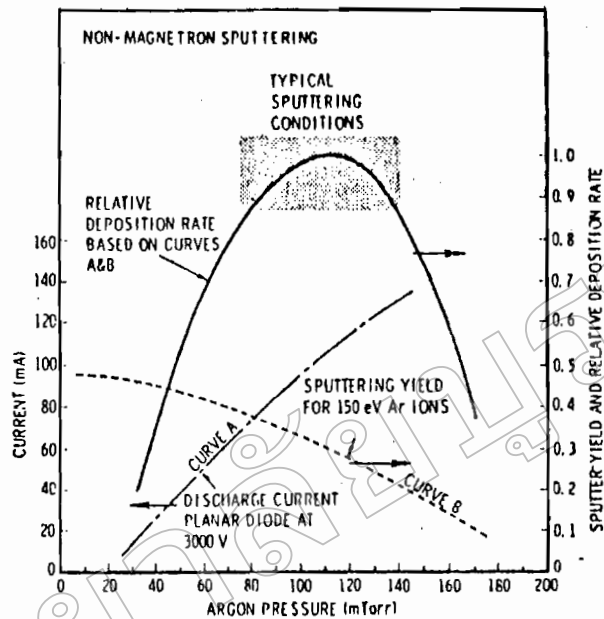
จนพื้นขอบของ คาโทด คาร์คสเปซ ซึ่งมีระยะสั้นกว่าระยะปลดการชนของอิเล็กตรอน จะไม่มีการผลิตไอออนเกิดขึ้นและกระบวนการติสซาร์จไว้ได้ และถ้าหากมีสิ่งสกปรกบริเวณคาโทด การอาร์คอาจเกิดขึ้นได้โดยไม่เกิดการ โกลว์ติสซาร์จก็ได้

ระบบเคลือบแบบ ดีซี สปีดเตอริง

ภาพที่ 2-11 แสดงระบบเคลือบแบบ ดีซี สปีดเตอริง อย่างง่ายที่สุด (พิเชษฐ ลิ้มสุวรรณ และธนัสถา รัตนะ, 2547; Bunshah, 1982; Smith, 1995) ซึ่งประกอบด้วยคาโทด คือ แผ่นเป้าสารเคลือบและอานอด คือ ที่วางวัสดุรองรับหรือชิ้นงานที่ต้องการเคลือบ ปกติระยะระหว่างคาโทดและวัสดุรองรับจะอยู่ระหว่าง 4 - 10 cm เพื่อป้องกันการสูญเสียอะตอมสารเคลือบที่ผนังของภาชนะสุญญากาศ โดยทั่วไประยะคาร์คสเปซ อยู่ระหว่าง 1 - 4 cm โดยอานอดจะอยู่บริเวณแนกาทิฟโกล์ว ส่วนอุปกรณ์ทำงานจะอยู่ในช่วงแอนนอร์มอล โกลว์ติสซาร์จ แก๊สที่ใช้เป็นแก๊สเฉื่อยซึ่งให้ยึดสูงและไม่ทำปฏิกิริยากับสารเคลือบ (ปกติใช้แก๊สอาร์กอน) ขณะเกิด โกลว์ติสซาร์จที่ความดันค่าหนึ่ง กระบวนการ ไอออนไนเซชันจะรักษาสภาพ โกลว์ติสซาร์จไว้ตราบที่ระยะคาร์คสเปซไม่มากกว่าระยะระหว่างคาโทดและอานอด เมื่อความดันลดลงหรือแรงดันไฟฟ้าระหว่างอิเล็กโตรดสูงขึ้น ระยะปลดการชนของอิเล็กตรอนจะสูงขึ้น ทำให้ระยะคาร์คสเปซขยายตัวออกและแหล่งผลิตไอออนในระบบมีปริมาณน้อยกระแสลดลงและอะตอมที่ถูกสปีดเตอริงมีปริมาณลดลงตามปริมาณของ ไอออนและกระแสไฟฟ้าในระบบ ที่ความดันต่ำกว่า 10^{-2} mbar ระยะคาร์คสเปซจะยาวกว่าระยะระหว่างอิเล็กโตรด และกระแสไฟฟ้าลดลงสู่ศูนย์ ทำให้กระบวนการผลิตไอออนสิ้นสุดลงและไม่มีอะตอมหลุดออกจากเป้าสารเคลือบเนื่องจากการสปีดเตอริงอีก



ภาพที่ 2-11 ระบบเคลือบแบบ ดีซี สปีดเตอริง (Bunshah, 1994)



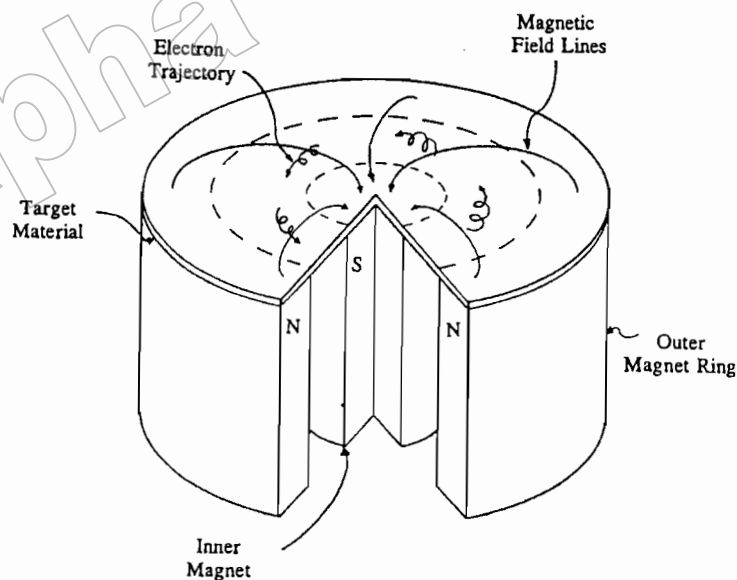
ภาพที่ 2-12 ผลของความดันในระบบที่มีผลต่ออัตราเคลือบ ค่าyield และกระแสไฟฟ้าในระบบสปัตเตอร์ของนิเกิลที่ใช้แรงดันไฟฟ้า 3,000 V ระหว่างขั้วอิเล็กโตรดที่วางห่างกัน 4.5 cm (Vossen & Kerns, 1978)

ขณะที่ความดันสูงขึ้นระยะคาร์คัสเปจจะหดสั้นลงบริเวณการผลิตไอออนมีปริมาตรสูงขึ้นกระแสไฟฟ้าที่ไหลในวงจรเพิ่มขึ้นและกระบวนการสปัตเตอร์จึงเกิดขึ้นในอัตราสูงตามความดัน ดังภาพที่ 2-12 เส้นกราฟ A ขณะที่ความดันภายในระบบสูงขึ้นระยะปลดการชนระหว่างโมเลกุลของแก๊สมีค่าลดลง อะตอมสารเคลือบที่หลุดออกจากเป้าจะส่งผ่านเคลือบบนวัสดุรองรับได้ยากจากการชนกับ โมเลกุลของแก๊สและสะท้อนกลับสู่เป้าสารเคลือบหรือสูญเสียสู่ผนังภาชนะสุญญากาศทำให้ค่าของyieldจากการสปัตเตอร์มีค่าลดลง แต่เมื่อความดันสูงขึ้น ดังภาพที่ 2-12 เส้นกราฟ B ผลรวมระหว่างyield และกระแสไอออนจะทำให้อัตราการเคลือบมีค่าสูงสุดที่ความดันค่าหนึ่งทั้งนี้พบว่าสปัตเตอร์นิเกิลเมื่อใช้แรงดันไฟฟ้า 3,000 V ระหว่างขั้วอิเล็กโตรดที่วางห่างกัน 4.5 cm ในแก๊สอาร์กอน การเคลือบจะหยุดที่ความดันมีค่าต่ำกว่า 2.6×10^{-4} mbar และที่ความดันสูงกว่า 1.6×10^{-5} mbar โดยอัตราเคลือบจะมีค่าสูงสุดและลดลงเมื่อความดันสูงเกินค่านี้นี้ ดังนั้นบริเวณที่เหมาะสมกับกระบวนการสปัตเตอร์คือบริเวณที่ให้อัตราเคลือบสูงและประสิทธิภาพดีที่สุด จากภาพที่ 2-10 พบว่าความดันที่เหมาะสมสำหรับการเคลือบคือ 1.0×10^{-5} mbar ความหนาแน่นกระแสประมาณ 1.0 mA/cm^2 ด้วยอัตราเคลือบ $0.036 \text{ } \mu\text{m/min}$ ซึ่งเป็นอัตราเคลือบที่ค่อนข้างต่ำในขณะที่ใช้แรงดันไฟฟ้าค่อนข้างสูง (พิเชษฐ ถิมสุวรรณ และธนัสถา รัตนะ, 2547)

ระบบเคลือบแบบ ดีซี แมกนีตรอน สเป็คเตอริง

อัตราการเกิดสเป็คเตอริงนั้นจะขึ้นกับผลคูณระหว่างอัตราและปริมาณไอออนที่วิ่งชนเป้าสารเคลือบ ดังนั้นการเพิ่มอัตราการสเป็คเตอริงนั้นนอกจากจะทำได้โดยการเพิ่มอัตราแล้วยังทำได้โดยการเพิ่มปริมาณไอออนที่วิ่งเข้าชนเป้าสารเคลือบ ซึ่งในระบบ ดีซี สเป็คเตอริง ปกติทำได้เพียงการเพิ่มแรงดันไฟฟ้าระหว่างอิเล็กโทรด หรือเพิ่มความดัน ซึ่งจะมีขีดจำกัดสูงสุดที่ ความหนาแน่นกระแสประมาณ 1 mA/cm^2 และความดันประมาณ $1.33 \times 10^{-5} \text{ mbar}$ นอกจากนี้ยังพบว่าในระบบ ดีซี สเป็คเตอริง ทั่วไปอะตอมของแก๊สที่จะเกิดการไอออไนซ์มีค่าน้อยกว่า 1% นอกจากนี้ยังมีข้อเสียเมื่อความดันสูงขึ้นจะทำให้ปริมาณแก๊สที่แทรกตัวในฟิล์มบางที่ได้มีค่าสูงด้วย (พิเชษฐ ลิมสุวรรณ และธนัสถา รัตนะ, 2547)

ต่อมาได้มีการพัฒนาระบบใหม่เรียกว่า ระบบดีซี แมกนีตรอน สเป็คเตอริง (พิเชษฐ ลิมสุวรรณ และธนัสถา รัตนะ, 2547; Bunshan, 1994; Smith, 1995) ซึ่งเป็นการใช้สนามแม่เหล็กช่วย โดยจ่ายสนามแม่เหล็กให้มีทิศทางกับผิวหน้าเป้าสารเคลือบและมีทิศตั้งฉากกับสนามไฟฟ้า ซึ่งจะช่วยให้ระยะทางเดินของอิเล็กตรอนให้ยาวขึ้น โดยอำนาจของสนามแม่เหล็กจะทำให้อิเล็กตรอนเคลื่อนที่เป็นทางโค้ง (ภาพที่ 2-13) ทำให้การไอออไนซ์เนื่องจากการชนระหว่างอิเล็กตรอนกับอะตอมแก๊สเฉื่อยมีค่าสูงขึ้นซึ่งจะทำให้อัตราการสเป็คเตอริงสูงขึ้นด้วย



ภาพที่ 2-13 การเคลื่อนที่ของอนุภาคอิเล็กตรอนในสนามแม่เหล็ก (Rickerby & Matthews, 1991)

285867

๖
๕๓๐.๕๑๗๕
๐๑๙๑๐
๑.๖

ทั้งนี้จากการศึกษาการเคลื่อนที่ของอิเล็กตรอนในสนามแม่เหล็ก พบว่าถ้าอิเล็กตรอนมีทิศทางการเคลื่อนที่ตั้งฉากกับสนามแม่เหล็ก อิทธิพลของสนามแม่เหล็กจะทำให้อนุภาคประจุนั้นเคลื่อนที่ในแนววงกลม (ภาพที่ 2-14 (a)) ด้วยรัศมี

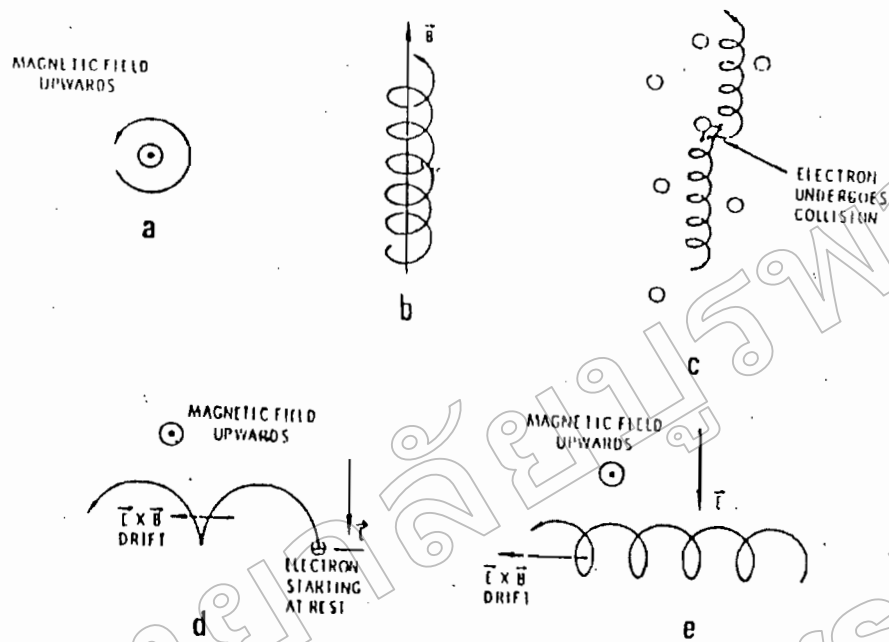
$$r = \frac{3.37 \sqrt{W}}{B} \quad (2-2)$$

เมื่อ W คือพลังงานของอิเล็กตรอนในหน่วย eV
 B คือความเข้มสนามแม่เหล็กในหน่วย gauss หมุนด้วยความถี่ไซโคลตรอน
 $\nu = 2.8 \times 10^6$ Hz

ถ้าพลังงานเฉลี่ยของอิเล็กตรอนในแนวตั้งฉากกับสนามแม่เหล็กมีค่า 10 eV และสนามแม่เหล็กมีความเข้ม 100 gauss รัศมีการหมุนมีค่าเท่ากับ 0.1 cm ด้วยความถี่การหมุนเท่ากับ 2.8×10^6 Hz ภาพที่ 2-14 (b) แสดงอิเล็กตรอนมีความเร็วส่วนหนึ่งในแนวขนานกับสนามแม่เหล็ก อิเล็กตรอนจะเคลื่อนที่หมุนควงรอบแนวสนามแม่เหล็กด้วยจำนวนเส้นแรงคงที่ค่าหนึ่งระหว่างนี้ ถ้าอิเล็กตรอนชนกับอะตอมแก๊ส ภาพที่ 2-14 (c) แนวการหมุนควงรอบสนามแม่เหล็กจะเปลี่ยนไป ถ้าอิเล็กตรอนเคลื่อนที่ภายในสนามแม่เหล็กและสนามไฟฟ้าซึ่งมีทิศทางตั้งฉากกัน อำนาจของสนามทั้งสองนอกจากจะทำให้อิเล็กตรอนเคลื่อนที่ในแนวโค้งแล้วยังสามารถทำให้เกิดการเคลื่อนที่ในแนวตั้งฉากกับสนามแม่เหล็กและสนามไฟฟ้าเรียกว่าการเคลื่อนที่แบบลอยเลื่อน (Drift motion) มีค่าเท่ากับ

$$V_E = \frac{10^8 E}{B} \quad (2-3)$$

เมื่อ E คือสนามไฟฟ้าหน่วยเป็น V/cm
 B คือความเข้มสนามแม่เหล็กในหน่วย gauss

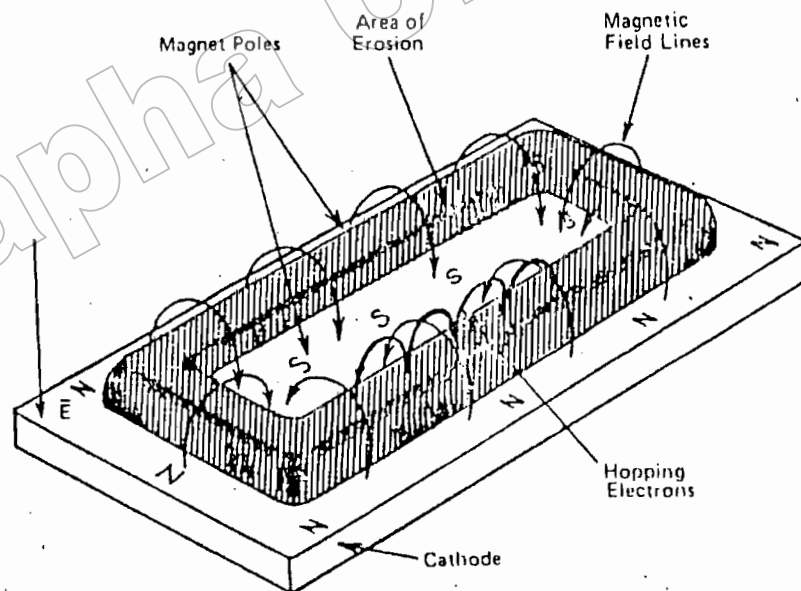


ภาพที่ 2-14 การเคลื่อนที่ของอนุภาคในสนามต่าง ๆ โดยที่ a, b, c เป็นการเคลื่อนที่ของอนุภาค ประจุในสนามแม่เหล็กอย่างเดียว ส่วน d และ e เป็นการเคลื่อนที่ของอนุภาคประจุ ในสนามแม่เหล็กและสนามไฟฟ้าร่วมกันในลักษณะต่าง ๆ (Bunshah, 1994)

กรณีสนามไฟฟ้าบริเวณคาร์คสเปซมีค่าประมาณ $1,000 \text{ V/cm}$ และสนามแม่เหล็ก มีค่าประมาณ 100 gauss จะให้ค่าความเร็วลอยเลื่อน (Drift Velocity) เท่ากับ 107 m/s ซึ่งเป็นค่า ที่ค่อนข้างสูงกรณีพลังงานเริ่มต้นของอิเล็กตรอนมีค่าน้อยเมื่อเทียบกับพลังงานที่ได้รับจาก สนามไฟฟ้า การเคลื่อนที่ของอิเล็กตรอนจะเป็นรูป Cycloid ดังภาพที่ 2-14 (d) ถ้าอิเล็กตรอน มีพลังงานเริ่มต้นสูงกว่าพลังงานที่ได้รับจากสนามไฟฟ้า การเคลื่อนที่แบบลอยเลื่อน จะอยู่ในแนว วงกลมซ้อนกันดังแสดงในภาพที่ 2-14 (e) พฤติกรรมที่ปรากฏต่ออิเล็กตรอนนี้จะเด่นชัดมาก ถึงแม้จะใช้สนามแม่เหล็กมีค่าน้อย ๆ ระหว่าง $50 - 500 \text{ gauss}$ แต่จะมีผลในการเบี่ยงเบนแนวทาง เติงของไอออน (ซึ่งมีมวลสูงกว่าอิเล็กตรอนมาก) อย่างไม่เด่นชัด

ระบบสปัตเตอร์ริงที่ใช้สนามแม่เหล็กช่วยเพิ่มปริมาณไอออนนั้น ถ้าสนามแม่เหล็ก มีทิศทางขนานกับสนามไฟฟ้าจะเรียกว่า สนามตามยาว (Longitudinal Field) จะทำให้ประสิทธิภาพ การเพิ่มไอออนไม่สูงนักแต่ไม่ทำให้แนวการเกิด โกลว์ดิสชาร์จเปลี่ยนแปลงไปและยังสามารถรักษา ความสม่ำเสมอของฟิล์มบางไว้ได้ดี กรณีของสนามแม่เหล็กตั้งฉากกับสนามไฟฟ้าเรียกว่า สนามตามขวาง (Transverse Field) โดยกระบวนการเพิ่มปริมาณไอออนเกิดขึ้นดังนี้ หลังจากนี้

ไอออนบวกชนกับเป้าสารเคลือบและเกิดการปลดปล่อยอิเล็กตรอนชุดที่สองออกมา อิเล็กตรอนชุดที่สองจะเคลื่อนที่ในลักษณะเดียวกับภาพที่ 2-14 (d) ทำให้อิเล็กตรอนถูกกักอยู่ในบริเวณสนามแม่เหล็กใกล้คาโทด และเคลื่อนที่แบบลอยเลื่อน ตามแนวผิวหน้าของคาโทด (ภาพที่ 2-15) ทำให้อิเล็กตรอนมีโอกาสชนกับ โมเลกุลแก๊สบริเวณผิวหน้าเป้าสารเคลือบมากขึ้นจนเพิ่มปริมาณไอออนสูงมากใกล้ผิวเป้าสารเคลือบ อิเล็กตรอนตัวใดที่ไม่ชน โมเลกุลของแก๊สจะเดินทางเป็นวงโค้งเข้าชนเป้าสารเคลือบและผลิตอิเล็กตรอนชุดที่สองมากขึ้นเป็นผลทำให้ ไอออนถูกผลิตในปริมาณสูงมากและเกิดใกล้ผิวคาโทด ทำให้เกิดสเปซชาร์จจากไอออนบวกสูงที่ผิวคาโทด ซึ่งอาจสั้นกว่าระยะปลอดภัยการชน ใน คีซี สปีดเตอริงที่ความดันใช้งานมาก แรงเคลื่อนไฟฟ้าเกือบทั้งหมดจะตกคร่อมบริเวณนี้และมีค่าสนามไฟฟ้าสูงกว่าบริเวณคาร์คสเปซใน คีซี สปีดเตอริง ขณะไม่มีสนามแม่เหล็กมากทำให้ความต้องการแรงดันไฟฟ้าระหว่างขั้วอิเล็กโตรดของระบบแมกนีตรอน สปีดเตอริง ลดลงทั่วไปมีค่าประมาณ 300 - 800 V ถ้าใช้สนามแม่เหล็กกับแมกนีตรอนทรงกระบอกจะเรียกว่า แมกนีตรอน สปีดเตอริงทรงกระบอก (Cylindrical Magnetron Sputtering) และถ้าใช้สนามแม่เหล็กกับระบบคีซี สปีดเตอริงที่ใช้เป้าแบบแผ่นราบจะเรียกว่า พลาแนร์แมกนีตรอน สปีดเตอริง (Planar Magnetron Sputtering)



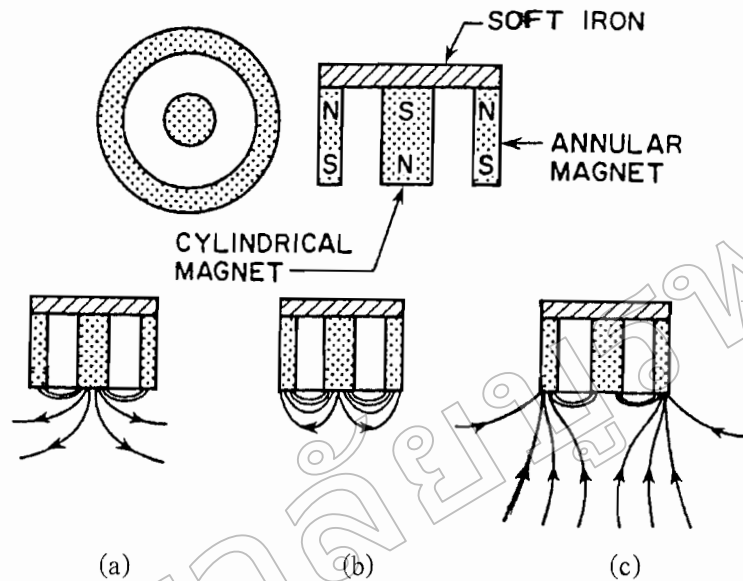
ภาพที่ 2-15 การจัดสนามแม่เหล็กและแนวการกักคร่อนของเป้าสารเคลือบในระบบพลาแนร์แมกนีตรอน สปีดเตอริง (Chapman, 1980)

ประสิทธิภาพการเพิ่มไอออนที่สูงมากในระบบแมกนีตรอนและพลาสมาที่เกิดขึ้นจะเข้มมากบริเวณเป้าสารเคลือบทำให้อัตราการสputteringของระบบนี้มีค่าสูง ขณะที่ความดันในระบบจะมีค่าต่ำแรงดันไฟฟ้าระหว่างอิเล็กโตรดมีค่าเกือบคงที่ที่ทุกค่าของอัตราการสputtering แมกนีตรอนสputtering ทรงกระบอกทั่วไปมีอัตราการสputtering สูงกว่า $1.0 \mu\text{m}/\text{min}$ และมีอัตราเคลือบสูงกว่า $0.2 \mu\text{m}/\text{min}$ ความหนาแน่นกระแสที่ผิวคาโทด ประมาณ $20.0 \text{ mA}/\text{cm}^2$ แรงดันไฟฟ้าระหว่างอิเล็กโตรดมีค่าระหว่าง $300 - 800 \text{ V}$ ที่ความดันประมาณ $5.33 \times 10^{-5} \text{ mbar}$ ประสิทธิภาพการเคลือบสูงเกินกว่า 10 เท่าตัว นอกจากนี้ยังสามารถขยายสเกลใช้กับระบบสputtering ขนาดใหญ่ได้ง่ายเมื่อออกแบบใช้งานร่วมกับไดร็อคสputtering ระบบสามารถเคลือบได้ที่ความดันต่ำถึง 10^{-5} mbar

ระบบเคลือบแบบ อับบาลานซ์ แมกนีตรอน สputtering

ในการเคลือบฟิล์มพบว่าถ้าระดมยิงไอออนระหว่างการเกิดฟิล์มจะเป็นการเปลี่ยนแปลงฟิล์มหลายอย่างเช่น พฤติกรรมการเกิดนิวเคลียส (Nucleation Behaviour) สัณฐานวิทยา (Morphology) องค์ประกอบ (Composition) ทิศทางการจัดเรียงตัว และสมบัติเชิงกล เป็นต้น ในกรณีแมกนีตรอน สputtering ไอออนที่ใช้ในการระดมยิงวัสดุรองรับจะมาจากประจุไฟฟ้าที่อยู่รอบวัสดุรองรับ ซึ่งทำได้โดยการจ่ายศักย์ลบประมาณ $1 - 500 \text{ V}$ ให้กับวัสดุรองรับ อย่างไรก็ตาม ความหนาแน่นกระแสที่ฟิล์มหรือผิวหน้าของวัสดุรองรับ สำหรับระบบดีซี แมกนีตรอน ปกติจะมีค่าต่ำประมาณ $0.05 - 0.10$ ไอออน/อะตอมสารเคลือบ แต่การใช้งานจริงต้องมีค่าสูงกว่านี้ (Rohde & Munz, 1991)

สำหรับการเคลือบแข็ง (Hard coating) ฟิล์มบางที่ต้องการนั้นจะต้องมีช่องว่าง (Voids) ในเนื้อฟิล์มน้อยที่สุด ซึ่งจะทำให้ฟิล์มบางที่ได้มีความทนต่อการกัดกร่อน (Corrosion) และทนต่อการขัดสี (Wear Resistance) มากยิ่งขึ้น โดยการลดช่องว่างในเนื้อฟิล์มนี้สามารถทำได้โดยการเพิ่มความต่างศักย์ไบแอสให้กับวัสดุรองรับ แต่ก็จะทำให้เกิดความเค้นและความบกพร่อง (Defects) ภายในเกรน (Grain) ของฟิล์มมากขึ้นเมื่อความต่างศักย์ไบแอสเพิ่มขึ้นด้วย ซึ่งจะทำให้คุณภาพของฟิล์มและการยึดติดของฟิล์มกับวัสดุรองรับลดลง ปัญหานี้สามารถแก้ไขได้โดยเพิ่มความหนาแน่นของกระแสไอออน (อัตราส่วนของไอออน/อะตอมสารเคลือบ) ซึ่งสามารถทำได้โดยใช้ระบบเคลือบแบบอับบาลานซ์ แมกนีตรอน สputtering (Unbalanced Magnetron Sputtering) (Rohde and Munz, 1991; Sproul, 1992)



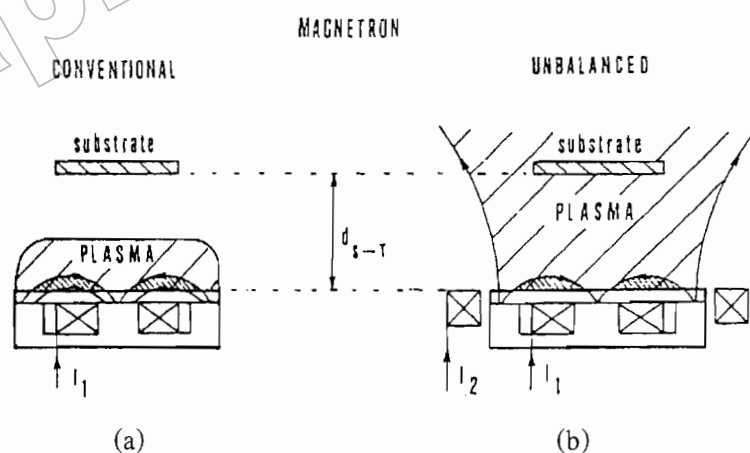
ภาพที่ 2-16 ลักษณะเส้นแรงแม่เหล็กของระบบอันบาลานซ์ แมกนีตรอน สปีดเตอริง

(Rickerby & Matthews, 1991)

ระบบอันบาลานซ์ แมกนีตรอน สปีดเตอริง ได้รับการคิดค้นและตีพิมพ์เผยแพร่โดย Window และ Savvides ครั้งแรกในปี ค.ศ.1986 โดยทั้งสองพบว่า การติดตั้งแม่เหล็กที่คาโทดของระบบสปีดเตอริงปกติ นั้น ถ้าหากทำให้ความเข้มของสนามแม่เหล็กด้านใดด้านหนึ่งมากกว่าหรือน้อยกว่าอีกด้านหนึ่งแล้ว สนามแม่เหล็กที่คาโทดจะมีลักษณะไม่สมมาตร ทำให้ปริมาณไอออนที่วิ่งเข้าชนหรือระดมยิงวัสดุรองรับนั้นมีปริมาณเพิ่มขึ้นมากกว่าปกติ ซึ่งจะมีผลต่อคุณภาพของฟิล์ม โดยตรงการจัดแม่เหล็กของระบบนี้อาจแบ่งเป็น 3 แบบ คือ ความเข้มสนามของแม่เหล็กที่ด้านในมากกว่าด้านนอก (ภาพที่ 2-16 (a)) หรือกลับกัน (ภาพที่ 2-16 (c)) หรือใกล้เคียงกัน (ภาพที่ 2-16 (b))

ถ้าจัดแม่เหล็กตามภาพที่ 2-16 (a) ไอออนที่ระดมยิงวัสดุรองรับจะมีค่าต่ำ (อัตราส่วนไอออน/ อะตอมสารเคลือบประมาณ 0.25 : 1) ส่วนการจัดแม่เหล็กตามภาพที่ 2-16 (c) ไอออนที่ระดมยิงวัสดุรองรับจะมีค่าเพิ่มมากขึ้นทำให้อัตราส่วนไอออน/ อะตอมสารเคลือบมีค่าสูงขึ้นคือประมาณ 2 : 1 (เมื่อใช้ความต่างศักย์ไบแอสต่ำ) ปัจจุบันมีนักวิจัยหลายกลุ่มที่นำแนวคิดนี้ไปประยุกต์ใช้อย่างแพร่หลาย ซึ่งมีทั้งที่ใช้แม่เหล็กแบบถาวรและแม่เหล็กไฟฟ้า จากการศึกษาของ Musil และ Kadlec ที่ระบบเคลือบใช้อันบาลานซ์ฟลันาร์แมกนีตรอนเดี่ยวและขดลวดแม่เหล็กไฟฟ้า 2 ขด เคลือบไททานเนียมไนไตรด์ที่ระยะเป้าสารเคลือบและวัสดุรองรับประมาณ 200.0 mm โดยใช้ความต่างศักย์ไบแอสในช่วง -5 ถึง -100 V พบว่าสามารถทำให้ได้ความหนาแน่นกระแสสูงถึง 6.0 mA/cm^2 ซึ่งสูงมากพอสำหรับใช้ในงานอุตสาหกรรม (Munz, 1991)

หากพิจารณาเปรียบเทียบระบบสปัตเตอริงทั้ง 3 ระบบจะพบว่าในกรณีระบบสปัตเตอริงปกตินั้นอิเล็กตรอนที่เกิดจากการไอออไนซ์จะวิ่งไปจับที่อาโนดโดยไม่เกี่ยวข้องกับกระบวนการสปัตเตอริงเลย ดังนั้นเพื่อให้ระบบสปัตเตอริงมีประสิทธิภาพมากขึ้นจึงมีแนวคิดที่จะนำอิเล็กตรอนเหล่านี้เข้ามาช่วยในกระบวนการสปัตเตอริงซึ่งทำได้โดยการใช้สนามแม่เหล็กช่วยจึงเกิดระบบแมกนีตรอน สปัตเตอริง ซึ่งเป็นที่ใช้สนามแม่เหล็กช่วยทำให้เกิดอิเล็กตรอนบริเวณหน้าคาโทดเพิ่มขึ้นเนื่องจากอิเล็กตรอนเหล่านี้มีส่วนช่วยทำให้กระบวนการสปัตเตอริงคงอยู่อย่างต่อเนื่องจากอำนาจของสนามแม่เหล็กจะทำให้อิเล็กตรอนเคลื่อนที่เป็นทางโค้งทำให้เกิดการไอออไนซ์อะตอมแก๊สเฉื่อยสูงขึ้น นอกจากนี้สนามแม่เหล็กและสนามไฟฟ้ายังทำให้การเคลื่อนที่ของอิเล็กตรอนที่วิ่งเข้าชนเป้าสารเคลือบมีลักษณะเป็นการชนแบบซ้ำ ๆ ต่อเนื่องกันทำให้เกิดอิเล็กตรอนชุดที่สองออกมาในปริมาณมากขึ้นซึ่งทำให้เกิดการสปัตเตอริงมากตามไปด้วย แต่ก็ยังมีอิเล็กตรอนบางส่วนที่มีพลังงานสูงซึ่งสามารถจะหลุดออกจากอำนาจของสนามแม่เหล็กนี้ได้ซึ่งจะวิ่งเข้าหาขั้วอาโนดโดยทันที สำหรับในระบบอานาลานซ์แมกนีตรอน สปัตเตอริง นั้นอิเล็กตรอนพลังงานสูงที่หลุดออกจากสนามแม่เหล็กจะถูกยึดไว้ด้วยเส้นแรงแม่เหล็กส่วนเกินของระบบแล้วเคลื่อนที่เป็นทางโค้งไปตามเส้นแรงแม่เหล็กเข้าชนกับอะตอมของแก๊สเฉื่อยและเกิดการไอออไนซ์เป็นพลาสมาชุดที่สองบริเวณผิวหน้าของวัสดุรองรับทำให้ความหนาแน่นกระแสที่วัสดุรองรับมีค่าสูงมากกว่าในระบบแมกนีตรอน สปัตเตอริง ปกติมาก (ประมาณ $5.0 - 10.0 \text{ mA/cm}^2$ ปกติมีค่าน้อยกว่า 1.0 mA/cm^2) โดยพลาสมาที่เกิดขึ้นนี้มีส่วนช่วยในการเคลือบฟิล์มที่เรียกว่า Ion-Assisted Deposition ซึ่งจะให้ฟิล์มบางที่ได้นั้นมีคุณภาพหนาแน่นสูงและมีการยึดติดดีมาก (Munz, 1991)

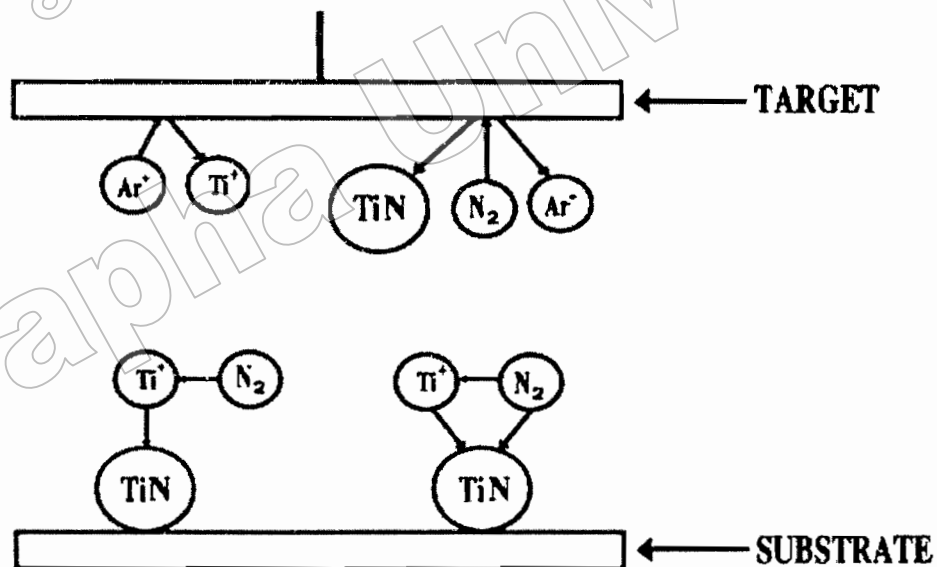


ภาพที่ 2-17 ลักษณะพลาสมาของระบบสปัตเตอริง (Munz, 1991)

- (a) ระบบบาลานซ์แมกนีตรอน สปัตเตอริง
- (b) ระบบอานาลานซ์แมกนีตรอน สปัตเตอริง

การเคลือบฟิล์มบางด้วยวิธี รีแอคทีฟ สปีดเตอริง

สำหรับกระบวนการรีแอคทีฟ สปีดเตอริง (Reactive Sputtering) มติ ห่อประทุม (2548) ได้อธิบายไว้ว่า เป็นกระบวนการสปีดเตอริงที่มีการป้อนแก๊สไวปฏิกิริยา (Reactive Gas) เข้าสู่ระบบ เพื่อให้เกิดสารประกอบของฟิล์มตกเคลือบบนชิ้นงานหรือวัสดุรองรับ การสปีดเตอริงที่มีเป้าสารเคลือบเป็นโลหะบริสุทธิ์ โดยการป้อนแก๊สไวปฏิกิริยา จะทำให้เกิดสารประกอบต่าง ๆ ของโลหะได้ เช่น การป้อนแก๊สไนโตรเจนอาจทำให้เกิดโลหะไนไตรด์ ถ้าป้อนแก๊สอะเซททีลีน (C_2H_2) หรือ มีเทน (CH_4) อาจเกิดเป็นสารประกอบของโลหะคาร์ไบด์ เป็นต้น โดยปกติความดันแก๊สไวปฏิกิริยาที่ใช้ค่อนข้างต่ำจนไม่เพียงพอต่อการเกิดปฏิกิริยาในสภาวะปกติ อย่างไรก็ตามหากเพิ่มอัตราส่วนของไอออนไนซ์แก๊สไวปฏิกิริยาให้มีความสามารถในการทำปฏิกิริยากับโลหะได้สูงกว่าสภาวะปกติโดยแก๊สไวปฏิกิริยา เช่น แก๊สไนโตรเจน (N_2) อาจรวมตัวกันกับโลหะ เช่น ไททานเนียม (Ti) แล้วเกิดเป็นสารประกอบไททานเนียมไนไตรด์ (TiN) ตามภาพที่ 2-18 ได้เป็น 3 ลักษณะ ดังนี้



ภาพที่ 2-18 การเกิดปฏิกิริยารวมตัวกันเป็นสารประกอบระหว่างแก๊สไวปฏิกิริยากับอะตอมเป้าสารเคลือบในบริเวณต่าง ๆ (มติ ห่อประทุม, 2548)

1. แก๊สไวปฏิกิริยาเช่นแก๊สไนโตรเจนทำปฏิกิริยากับอะตอมไททานเนียมที่ผิวหน้าเป่าของสารเคลือบกลายเป็นสารประกอบไททานเนียมไนไตรด์แล้วถูกสปีดเตอร์ให้หลุดออกแล้วตกเคลือบลงบนแผ่นวัสดุรองรับ ปฏิกิริยาส่วนนี้เกิดขึ้นสูงเมื่อความดันย่อยของแก๊สไวปฏิกิริยาในระบบมีค่าสูง พบว่า ในการเคลือบไททานเนียมไนไตรด์บนฟิล์มเคลือบที่เป่าสารเคลือบ ส่วนที่มีอัตราการสปีดเตอร์ต่ำจะปรากฏฟิล์มของสีทองไททานเนียมบริเวณนั้น ปรากฏการณ์นี้เรียกว่า Target Poisoning มีผลทำให้อัตราการเคลือบลดลง

2. แก๊สไวปฏิกิริยาเช่นแก๊สไนโตรเจนรวมตัวกับอะตอมไททานเนียมที่ถูกสปีดเตอร์ในระหว่างทางวิ่งสู่แผ่นวัสดุรองรับแล้วตกเคลือบบนแผ่นวัสดุรองรับ กระบวนการนี้ในทางทฤษฎีถือว่าเกิดได้น้อยมากเนื่องจากสถานะของการทำปฏิกิริยาไม่เหมาะสมตามกฎอนุรักษ์พลังงานและโมเมนตัม แต่เป็นไปได้ที่การรวมตัวของสารประกอบจะเกิดในช่วงนี้

3. แก๊สไวปฏิกิริยาเช่นแก๊สไนโตรเจนรวมตัวกับไททานเนียมบนผิววัสดุรองรับหรือชิ้นงาน การทำรีแอคทีฟ สปีดเตอริง โดยทั่วไปความดันแก๊สไวปฏิกิริยาที่เหมาะสมต่อการเกิดสารประกอบที่ต้องการมีค่าต่ำกว่าช่วงที่เกิดขบวนการโกลว์ดีสซาร์จ ในกระบวนการจึงใช้แก๊สไวปฏิกิริยากับแก๊สเฉื่อยทำให้รักษาสถานะโกลว์ดีสซาร์จไว้ได้ ในเวลาเดียวกันช่วยให้อัตราเคลือบสูงขึ้น ในการทำรีแอคทีฟ สปีดเตอริง ยังมีสิ่งที่ต้องคำนึงถึงคือความดันย่อยของแก๊สไวปฏิกิริยาต้องมีค่าพอเหมาะกับการเกิดฟิล์มสารประกอบที่ต้องการ เช่น การเคลือบสารประกอบ Ferroferric Oxide (Fe_3O_4) ความดันแก๊สออกซิเจนที่ใช้ในรีแอคทีฟ สปีดเตอริง ถูกจำกัดในช่วงความดันแคบมาก ถ้าความดันย่อยของแก๊สออกซิเจนมากไปจะเกิดสารประกอบของ Ferric Oxide (Fe_2O_3) ถ้าน้อยเกินไปจะเกิดสารประกอบ Ferrous Oxide (FeO) หรือฟิล์มของเหล็ก (Fe)

การหาลักษณะเฉพาะของฟิล์มบาง

ลักษณะเฉพาะหรือสมบัติต่าง ๆ ของฟิล์มบางสามารถวิเคราะห์หรือหาได้จากเทคนิคต่าง ๆ หลายเทคนิค ในงานวิจัยนี้จะศึกษาลักษณะเฉพาะของฟิล์มบางต่อไปนี้ โครงสร้างผลึก เฟส ลักษณะพื้นผิว และความหนา ด้วยเทคนิคต่าง ๆ ดังนี้

1. การศึกษา โครงสร้างด้วยเครื่อง X-ray diffractometer (XRD)

ลักษณะเฉพาะสำคัญอย่างหนึ่งของฟิล์มบางคือการศึกษาโครงสร้างผลึก หรือ เฟส ซึ่งสามารถวิเคราะห์ได้ด้วยเทคนิคการวิเคราะห์การเลี้ยวเบนรังสีเอกซ์ (Diffraction Analysis) กมล เอี่ยมพนากิจ (2547) อธิบายหลักการของเทคนิคนี้ไว้ดังนี้ การวิเคราะห์การเลี้ยวเบนรังสีเอกซ์ เป็นเทคนิคที่ใช้สำหรับการแยกแยะโครงสร้างของสารที่ใช้ในการเคลือบ โดยการวิเคราะห์อาศัยการเปรียบเทียบรูปแบบการเลี้ยวเบนกับมาตรฐาน JCPDS (Joint Committee on Powder Diffraction Standard) ของสารนั้น ดังนั้นเทคนิค XRD เป็นเทคนิคสำหรับวัดค่าความเข้มของรังสีเอกซ์ที่สะท้อนจากผลึก ใช้หลักการของการเลี้ยวเบนของคลื่น โดยพบว่ารังสีเอกซ์เลี้ยวเบนได้เมื่อให้ตกกระทบผลึก ซึ่ง Bragg ได้เสนอแนวคิดว่าเราสามารถมองผลึกประกอบด้วยชั้น (Layer) หรือ ระนาบ (Plane) ของอะตอมซึ่งสามารถสะท้อนคลื่นที่ตกกระทบ โดยมุมที่ตกกระทบเท่ากับมุมสะท้อน ทั้งนี้คลื่นที่สะท้อนออกไปจากระนาบต่าง ๆ ดังกล่าวจะมีความเข้มสูง ถ้ารังสีเอกซ์ 1 และ 2 ตกกระทบทำมุม θ กับระนาบของผลึก A และ B สนามไฟฟ้าของรังสีเอกซ์จะก่อให้เกิดแรงคูลอมป์กระทำบนอิเล็กตรอนที่ P กับ Q ให้สั่นด้วยความถี่เดียวกับรังสีเอกซ์ที่ตกกระทบ และอิเล็กตรอนนั้นแผ่คลื่นแม่เหล็กไฟฟ้าเป็นรังสีเอกซ์ออกไปทุกทิศทางแต่ในทิศทาง 1' และ 2' ซึ่งเสมือนรังสีเอกซ์สะท้อนออกจากระนาบของผลึกจะไปแทรกสอดแบบเสริมกัน (In Phase) แม้ว่าแบบจำลองที่กล่าวมาจะไม่ถูกต้องในทางกายภาพ เนื่องจากแท้จริงแล้วระนาบของอะตอมไม่ได้สะท้อนคลื่นแต่วิธีนี้ก็ใช้ได้ทางเรขาคณิต พิจารณา

$$\delta = n\lambda \quad (2-4)$$

เมื่อ δ คือ ความแตกต่างของระยะที่คลื่นเดินทาง

λ คือ ความยาวคลื่น

n คือ จำนวนเต็มใด ๆ

จากภาพที่ 2-19

$$\delta = SQ + QT = 2SQ \quad (2-5)$$

จากรูปตรีโกณมิติพื้นฐาน

$$\delta = 2PQ \sin \theta \quad (2-6)$$

โดย PQ คือ ระยะห่างระหว่างระนาบ d_{hkl}

$$\delta = 2d \sin \theta \quad (2-7)$$

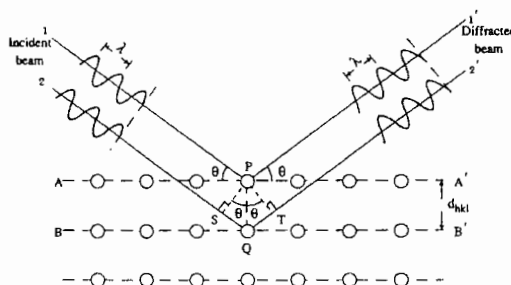
จากสมการ (2-4) เท่ากับ (2-7) จะได้

$$2d_{hkl} \sin \theta = n\lambda \quad (2-8)$$

เรียกสมการที่ (2-8) นี้ว่า สมการการเลี้ยวเบนรังสีเอกซ์จากผลึก (Bragg's law)

โดยที่ λ เป็นความยาวคลื่น n เป็นลำดับของการสะท้อน d_{hkl} เป็นระยะห่างระหว่างระนาบ ($h k l$) และ θ เป็นมุมตกกระทบและมุมสะท้อนเมื่อวัดจากแนวระนาบที่กำลังพิจารณา

ในภาพที่ 2-19 เป็นแบบจำลองสำหรับการพิสูจน์กฎของแบรกก์ อะตอมเรียงตัวเป็นระเบียบ โดยมีระยะห่างระหว่างอะตอมใกล้เคียงกับความยาวคลื่นของรังสีเอกซ์ ($\sim 10^{-10}$ m) จะทำหน้าที่เป็นเสมือน เกรตติงเลี้ยวเบนแต่จะเป็นเกรตติงเลี้ยวเบนแบบ 3 มิติ



ภาพที่ 2-19 แบบจำลองการเรียงตัวของอะตอม (กมล เอี่ยมพนากิจ, 2547)

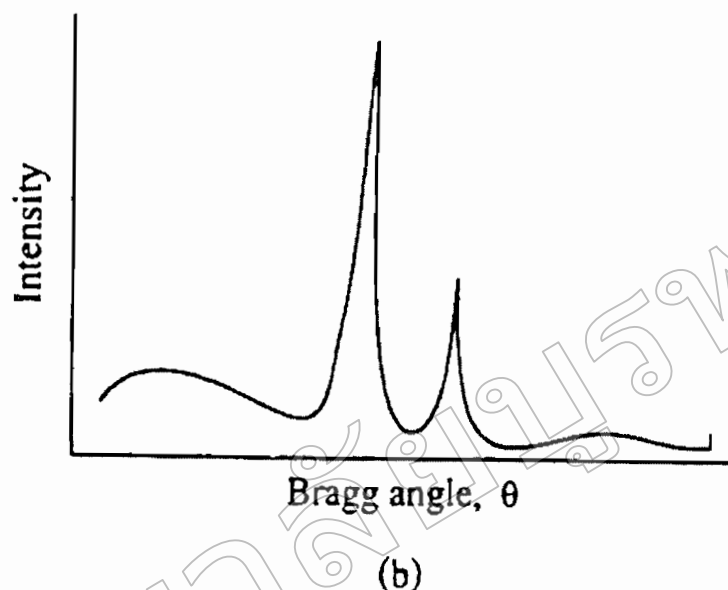
สัญญาณที่ตรวจจับได้จะแสดงออกมาในรูปแบบของการเลี้ยวเบนรังสี (Diffraction Pattern) ความเข้มของสัญญาณขึ้นอยู่กับหลายปัจจัยด้วยกันเช่น โครงสร้างของวัสดุ ปริมาตรของวัสดุที่แผ่รังสี (Volume of Irradiated Material) รูปทรงของการหักเห (Diffraction Geometry) และการวางชิ้นงาน (Sample Alignments) เป็นต้น

ตำแหน่งของพีค ที่มีค่ามากที่สุดสามารถบอกถึงขนาดและรูปร่างของหน่วยเซลล์ได้ในขณะที่ความกว้างให้หาค่าขนาด การจัดเรียงตัว (Orientation) และความเครียด (Strain) ภายในเกรนของวัสดุหลายผลึก กรณีของการศึกษาขนาดของผลึกจากรายงานการวิจัยของ Kim, Hahn, Oh, and Kim (2002) ได้ทำการศึกษาขนาดของผลึกไททานเนียมไดออกไซด์ที่อบฟิล์มบางด้วยอุณหภูมิต่าง ๆ โดยอาศัย Scherrer equation ดังสมการที่ 2-9

$$L = \frac{k\lambda}{\beta \cos\theta} \quad (2-9)$$

- เมื่อ L คือ ขนาดของผลึกฟิล์มไททานเนียมไดออกไซด์
 k คือ ค่าคงที่เท่ากับ 0.94
 λ คือ ความยาวคลื่นของรังสีเอกซ์ ($\text{CuK}\alpha = 1.5406$)
 β คือ ความกว้างครึ่งหนึ่งของพีคที่มีค่าความเข้มสูงสุด
 θ คือ ครึ่งหนึ่งของมุมตรงจุดศูนย์กลางพีค

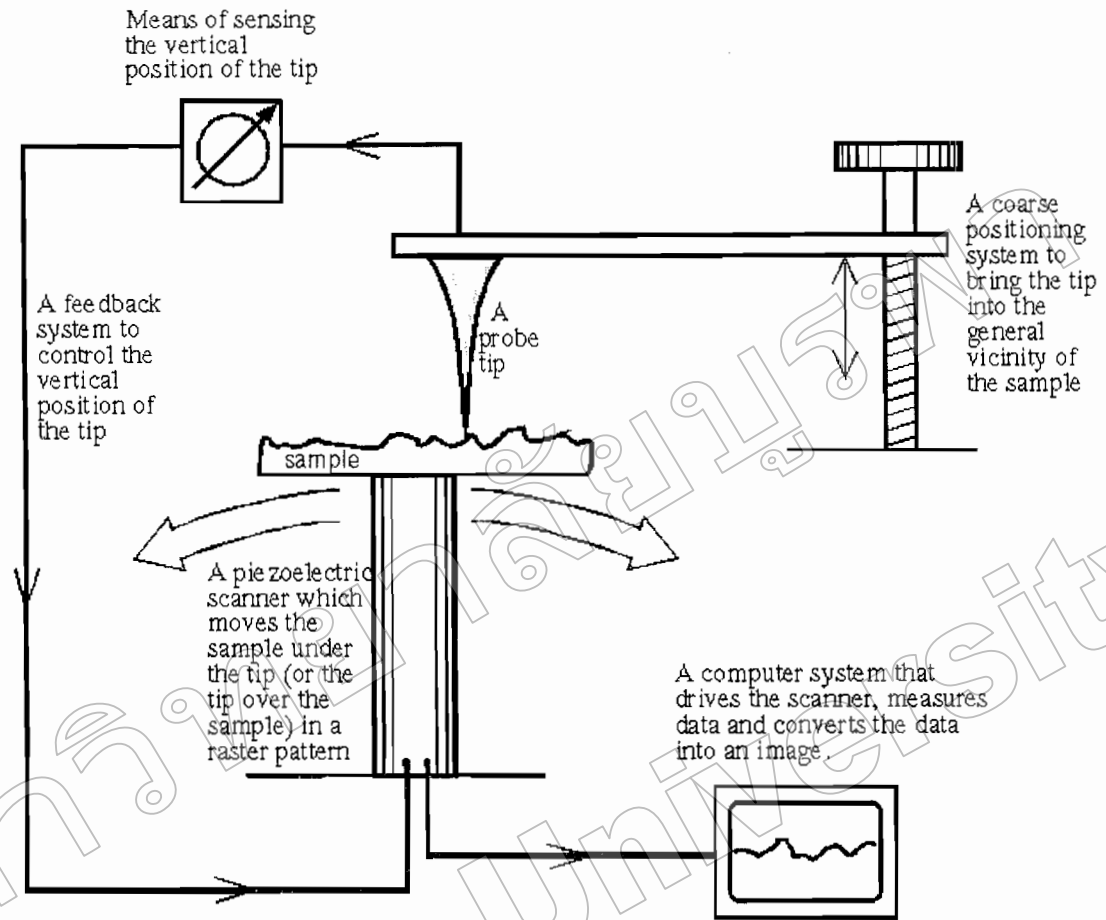
บางครั้งตำแหน่งของรูปแบบการเลี้ยวเบนที่วัดได้อาจจะเลื่อนไปด้วยค่ามุมที่สูงขึ้นเนื่องจากผลของความเค้นคงค้าง (Residual Stress) ในผิวสารเคลือบนั่นเอง ส่วนความเข้มของสัญญาณที่ได้ อาจไม่เป็นไปตามค่ามาตรฐาน JCPDS เพราะเกิดการจัดเรียงตัวในทิศทางที่ชอบ (Preferred Orientation) ของอะตอมในฟิล์มนอกจากนี้เทคนิคการเลี้ยวเบนรังสีเอกซ์ยังสามารถให้ข้อมูลที่บอกถึงส่วนผสมทางเคมีของเฟส (Phase Composition) และค่าพารามิเตอร์ของแลตทิซ (Lattice Parameter)



ภาพที่ 2-20 ความเข้มของพีคที่แสดงถึงระนาบผลึกของวัสดุในตำแหน่งที่มีการสะท้อนรังสี (มติ ห่อประทุม, 2548)

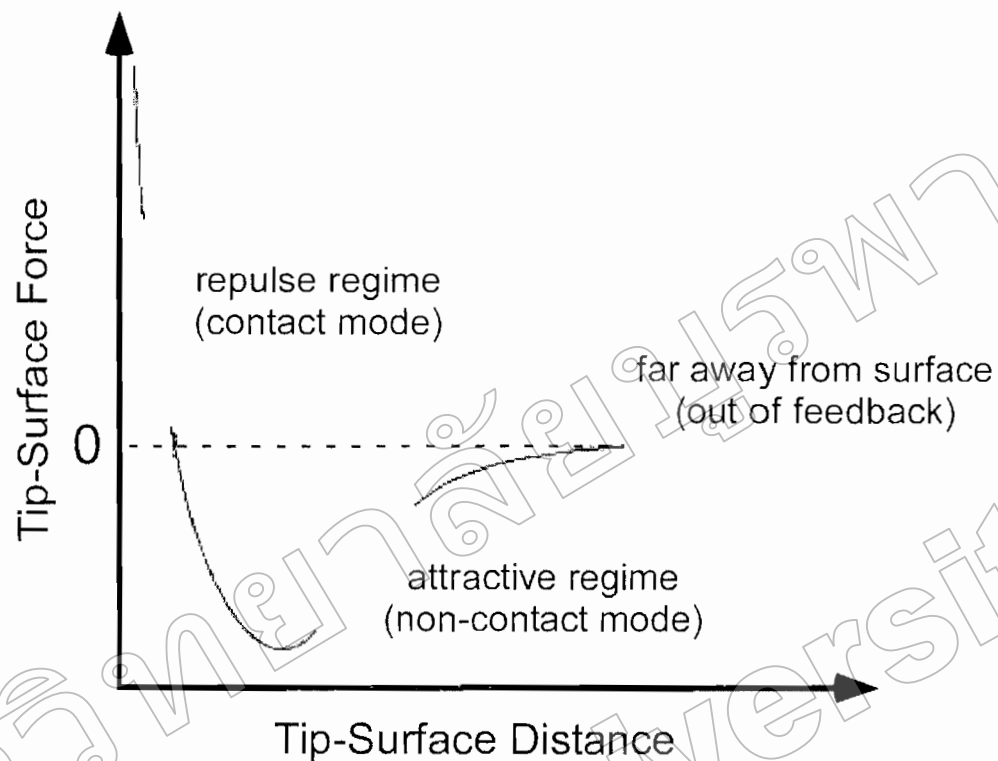
2. การศึกษาลักษณะพื้นผิวด้วยเครื่อง Atomic Force Microscopy (AFM)

ลักษณะเฉพาะสำคัญอีกอย่างหนึ่งของฟิล์มบางคือการศึกษาลักษณะพื้นผิว และความหนาเทคนิคที่นิยมใช้ในการศึกษาความหนาและลักษณะพื้นผิวของฟิล์มบางในระดับนาโน คือ Atomic Force Microscopy (AFM) ซึ่ง จตุพร วุฒิกนกกาญจน์ (2542) ได้อธิบายหลักการทำงานของเครื่อง AFM ไว้ดังนี้ เทคนิค Atomic Force Microscopy เป็นการสร้างภาพของผิววัสดุจากแรงกระทำระหว่างผิววัสดุกับตัวตรวจวัดที่ทำจากเข็มขนาดเล็ก (Probe Tip) และเป็นเทคนิคหนึ่งในกลุ่มของ Scanning Probe Microscopy (SPM) ซึ่งเป็นกลุ่มเทคนิคที่สามารถใช้ในการศึกษาสภาพพื้นผิวของวัสดุประเภทต่าง ๆ ได้ หลักการพื้นฐานคือ การใช้เข็มตรวจวัดขนาดเล็กที่ทำจากซิลิคอนไนไตรด์ (Silicon Nitride, Si_3N_4) เคลื่อนที่กราด (Scan) ไปทั่วบริเวณต่าง ๆ ของผิววัสดุ โดยมีตัวเพียโซอิเล็กทริกสแกนเนอร์ (Piezoelectric Scanner) เป็นตัวควบคุม สภาพผิวที่แตกต่างกันไปจะก่อให้เกิดการเปลี่ยนแปลงกับเข็มตรวจวัดแตกต่างกันไป โดยตัวคานามีเข็มเกาะติดอยู่จะมีการโค้งงอ (Bending) ปริมาณการโค้งงอนี้สามารถตรวจวัดได้โดยใช้โฟโตดีเทคเตอร์ (Photo Detector) ดังภาพที่ 2-21 ภาพที่ได้จากเทคนิคนี้จะสอดคล้องตามสภาพพื้นผิวในแต่ละบริเวณที่ตรวจสอบ ในเทคนิค AFM นี้ สิ่งที่ทำให้คานามีเข็มเกาะอยู่เกิดการโค้งงอขึ้นก็คือ แรงกระทำระหว่างอะตอมซึ่งอาจจะเป็นแรงดึงดูดหรือแรงผลักก็ได้ขึ้นอยู่กับระยะห่างระหว่างเข็มปลายแหลมกับพื้นผิวดังแสดงในภาพที่ 2-22



ภาพที่ 2-21 องค์ประกอบหลักของเครื่องมือ Scanning Probe Microscope

(<http://www2.polito.it/ricerca/micronanotech/Strumentu/SPM.html>)

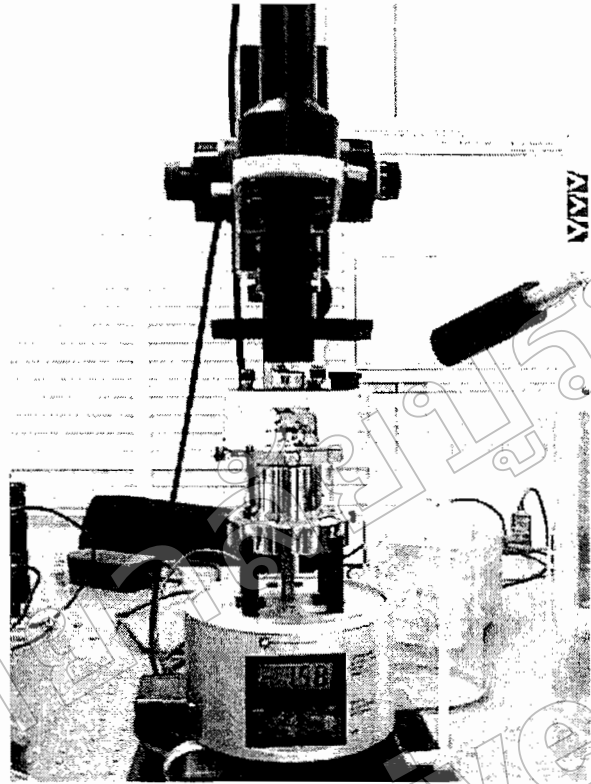


ภาพที่ 2-22 ลักษณะของแรงกระทำระหว่างอะตอมที่เกิดขึ้นในระยะห่างระหว่างวัตถุต่าง ๆ

(www.science.siu.edu/chemistry/zang/afm.html)

เทคนิค AFM สามารถแบ่งได้หลายวิธีตามลักษณะการเก็บข้อมูล ซึ่งจะได้กล่าวถึงในหัวข้อต่อไป อย่างไรก็ตามไม่ว่าจะเป็นการใช้ AFM วิธีใด แรงกระทำที่เกิดขึ้นจะมีการเปลี่ยนแปลงไปตามสภาพพื้นผิว (Topography) ของวัสดุ

ภาพที่ 2-23 แสดงให้เห็นถึงเครื่อง Atomic Force Microscope รุ่น NanoScope IIIa บริเวณตรงกลางเป็นบริเวณที่ใช้วางชิ้นงาน โดยมีเข็มวัดวางอยู่ด้วย ส่วนที่บริเวณด้านบนของเครื่องมือจะมีกล้องจุลทรรศน์วิดีโอ (Video Microscope) ติดตั้งไว้เพื่อใช้สำหรับดูตำแหน่งของเข็มที่จะทำการวางลงบนบริเวณต่าง ๆ บนผิว ภาพที่ได้จากกล้องจุลทรรศน์วิดีโอนี้จะแสดงทางจอโทรทัศน์ นอกจากนี้ในบริเวณด้านบน จะมีแหล่งกำเนิดแสงเลเซอร์และโฟโตดีเทคเตอร์ที่ใช้วัดการโค้งงอของคานขึ้น



ภาพที่ 2-23 เครื่อง AFM แบบ Multimode (http://rclsg.eng.ohio-state.edu/nlim/page_01.htm)

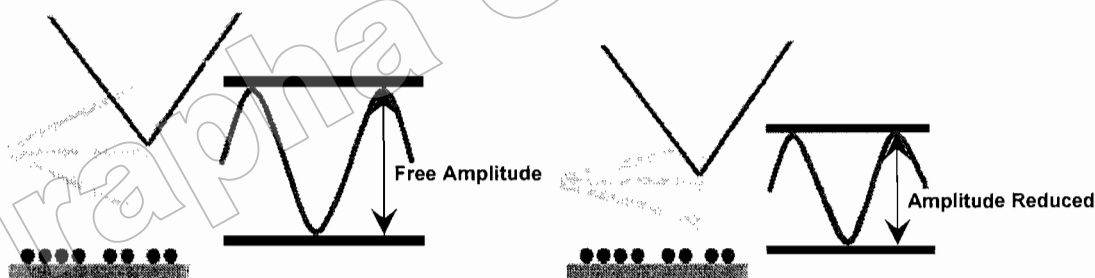
ลักษณะการเก็บข้อมูลด้วยเทคนิค AFM สามารถใช้เก็บข้อมูลได้ 4 ลักษณะ (Mode) ที่สำคัญดังนี้คือ

1. Contact mode เป็นการศึกษาสภาพผิวชิ้นงาน โดยการขยับให้เข็มไถล (Slide) ไปบนผิวงานซึ่งจะทำให้มีแรงผลึกเกิดขึ้น เนื่องจากเข็มกับผิวงานจะอยู่ใกล้กันมาก แรงผลึกนี้จะเปลี่ยนแปลงไปตามสภาพผิว ซึ่งจะทำให้มีการโก่งงอ (Deflection) ของคานยื่น (Cantilever) ที่มีเข็มยึดเกาะอยู่ที่ปลาย โดยปริมาณการโก่งงอจะเปลี่ยนแปลงสอดคล้องเป็นไปตามลักษณะของผิวงาน อย่างไรก็ตาม เทคนิคแบบ Contact mode นี้มีข้อเสียคือ การลากให้เข็มตรวจวัดเคลื่อนที่ไถลข้ามไปยังบริเวณต่าง ๆ บนผิวงาน อาจจะทำให้พื้นผิววัสดุที่กำลังศึกษาต่างไปจากสภาพเดิมที่แท้จริง หรืออาจเกิดความเสียหายขึ้นแก่ผิวงานได้ ยกตัวอย่างเช่น ภายใต้อากาศบรรจุอากาศปกติซึ่งมีอากาศและความชื้นในอากาศ อาจจะทำให้หยดน้ำหรือสิ่งสกปรกบนผิวงาน ซึ่งเมื่อเข็มวัดเคลื่อนที่ไปสัมผัสกับผิวที่มีชั้นบาง ๆ ของหยดน้ำและสิ่งสกปรกดังกล่าว จะทำให้มีแรงดึงไฟฟ้าสถิตและแรงดึงผิวดึงให้ตัวคานที่มีเข็มยึดอยู่ที่ปลายเคลื่อนที่ลงมาสัมผัสกับชั้นดังกล่าว ทำให้แรงระหว่างเข็มกับผิวงานที่เกิดขึ้น โดยรวมเปลี่ยนแปลงไป นอกจากนี้ ยังอาจทำให้ผิวงานถูกทำลาย เช่น เกิดการฉีกขาดจากการลากเข็มไปบนผิวงาน

2. Non-contact mode เพื่อที่จะหลีกเลี่ยงปัญหาดังกล่าวข้างต้น จึงได้มีการพัฒนาเทคนิคแบบ Non-contact mode ขึ้นมา โดยในที่นี้ ตัวเข็มปลายแหลมจะถูกยกขึ้นมาให้มีระยะห่างเหนือผิวงานสูงมากขึ้น คือประมาณ 10 - 100 Å จึงไม่มีปัญหาเรื่องการทำลายโครงสร้างผิวงาน โดยในกรณีนี้ แรงกระทำระหว่างตัวคานที่มีเข็มปลายแหลมยึดเกาะอยู่กับผิวงานจะเป็นลักษณะแรงดึงดูด ซึ่งจะเปลี่ยนแปลงไปตามรูปทรงของสภาพผิวงานเช่นเดียวกัน

วิธีนี้มีข้อจำกัดเกี่ยวกับความละเอียดของภาพที่เกิดขึ้น นั่นคือ แรงดึงดูดประเภทแวนเดอร์วาลส์ (Van Der Waals) ที่เกิดขึ้นในกรณีนี้จะเป็นแรงที่อ่อนกว่าเมื่อเทียบกับแรงผลักที่เกิดขึ้นในกรณีของ Contact mode ดังนั้นการตรวจสอบอาจไว (Sensitive) ต่อสิ่งแปลกปลอมที่อยู่บนผิวงาน เช่น หยดน้ำที่เกาะอยู่บนผิว

3. Tapping mode เป็นเทคนิคที่รวมเอาลักษณะของการวัดทั้งในแบบของ Contact mode และ Non-contact mode เข้าด้วยกัน กล่าวคือ ยังคงให้มีการสัมผัสกันระหว่างเข็มกับผิวงานในระบะที่ใกล้กันมาก เหมือนกับกรณีของ Contact mode เพื่อให้เกิดภาพที่ชัดเจน ในขณะเดียวกัน ก็จะมีการสั่นหรือขยับเข็มปลายแหลมให้เคลื่อนที่ขึ้นลงไปพร้อม ๆ กับการเคลื่อนที่สแกนไปยังบริเวณต่าง ๆ บนผิวงาน ดังนั้นจึงเป็นการหลีกเลี่ยงปัญหาการลากไถลเข็มปลายแหลม ซึ่งจะทำให้เกิดการทำลายสภาพของผิวงานได้ เหมือนใน Contact mode



ภาพที่ 2-24 ลักษณะการสั่นของคานที่มีเข็มติด

(<http://www.nanocraft.de/kompetenz/tapping/tapping.html>)

ภาพที่ 2-24 แสดงการสั่นของคานในสถานะอิสระหรือตอนเริ่มต้นที่ยังไม่เกิดการสัมผัส และขยับเคลื่อนที่ไปบนผิวงาน จะเห็นได้ว่าแอมพลิจูดจะยังสูงอยู่เมื่อเทียบกับแอมพลิจูดที่เกิดจากการสั่นของคานเมื่อมีการแตะสัมผัส (Tapping) ลงบนผิวงาน เนื่องจากในการสัมผัสกันนั้นจะมีการสูญเสียพลังงานของการสั่น ทำให้แอมพลิจูดของการสั่น (Oscillation Amplitude) ลดลง ซึ่งค่าที่ลดลงนี้จะใช้เป็นตัววัดและบอกถึงลักษณะของสภาพพื้นผิวที่มีความสูงต่ำแตกต่างกันไป ตัวอย่างเช่น เมื่อเข็มตรวจวัดเคลื่อนที่ผ่านบริเวณผิวงานที่มีความนูนสูงขึ้นมา ตัวคานก็จะมีพื้นที่หรือแอมพลิจูดในการสั่นลดลง ในทางตรงข้าม เมื่อเข็มปลายแหลมเคลื่อนที่ผ่านบริเวณผิวที่มีการยุบตัวหรือมีความลึกลงไป ตัวคานก็จะมีพื้นที่ในการสั่นเพิ่มขึ้น และมีแอมพลิจูดสูงขึ้น (เข้าใจคือแอมพลิจูดสูงสุดในสภาพที่ยังไม่มีการทำการสแกน) แอมพลิจูดของการสั่นที่เปลี่ยนแปลงไปก็จะถูกวัดโดยแอมพลิจูดดีเทคเตอร์ (Amplitude Detector) แล้วส่งผลเข้าไปยังตัวควบคุม ซึ่งจะทำการวัดสัญญาณพร้อมทั้งปรับระยะระหว่างเข็มกับผิวงาน เพื่อรักษาให้ค่าแอมพลิจูดของการสั่นให้คงที่ต่อไป จนกว่าจะมีการเปลี่ยนแปลงของแอมพลิจูดของการสั่นตามสภาพพื้นผิวในบริเวณถัดไป

4. Force modulation mode สำหรับพื้นผิวของวัสดุที่มีองค์ประกอบหลายเฟส พบว่าเทคนิค AFM ในวิธีแบบ Force modulation mode จะเป็นที่ยอมรับใช้มาก โดยเทคนิคนี้จะเป็นการวัดและสร้างภาพของพื้นผิวชิ้นงานที่มีความแตกต่างของความแข็งเกร็ง (Stiffness) ในแต่ละเฟสสูง โดยในกรณีนี้ตัวเข็มจะสแกนไปในลักษณะที่มีการสั่นในแนวตั้งฉากกับผิววัสดุด้วยแอมพลิจูดเล็กน้อย แต่จะมีความเร็วในการสั่นที่สูงกว่าการเคลื่อนที่สแกนของเข็ม และเมื่อตัวเข็มถูกนำเข้ามาแตะสัมผัสกับผิววัสดุก็จะเกิดแรงต่อต้านจากผิวของวัสดุที่เกิดจากการสั่นและทำให้ตัวคานงอและถ้าหากว่าแรงในแนวตั้งทำให้ตัวคานสั่นคงที่ พื้นผิวบริเวณที่แข็งกว่าจะทำให้เกิดการต่อต้านต่อการสั่นในแนวตั้งของตัวคานมากกว่า และจึงทำให้ตัวคานงอมากกว่า ดังนั้น การเปลี่ยนแปลงของแอมพลิจูดที่เกิดจากการ โกงงอของตัวคานจึงนำมาใช้วัดเปรียบเทียบความแข็งที่บริเวณต่าง ๆ ของผิวงาน

หลักการของวิธี Tapping mode กับ Force modulation mode คล้ายกันที่มีการสั่นของเข็มในแนวตั้งพร้อมกับมีการสแกนไปบนผิวชิ้นงาน อย่างไรก็ตามทั้ง 2 เทคนิค จะมีความแตกต่างกันคือ ในกรณี Force modulation mode จะสั่นด้วยความเร็วสูงกว่า (สูงกว่าความเร็วในการสแกน) และการวัดแอมพลิจูดที่เกิดจากการบิดงอของคาน เป็นการวัดเนื่องจากผลของแรงต้านการสั่น เมื่อมีการสัมผัสของเข็มกับผิวงานในขณะที่ Tapping Mode จะเป็นการวัดการเปลี่ยนแปลงแอมพลิจูดของการสั่นของคานที่เปลี่ยนแปลงไป (ลดลง) เนื่องมาจากมีการสูญเสียพลังงานไปเมื่อมีการสัมผัสผิวงานที่มีระดับความสูงต่ำแตกต่างกัน

เซอร์โคเนียมออกไซด์

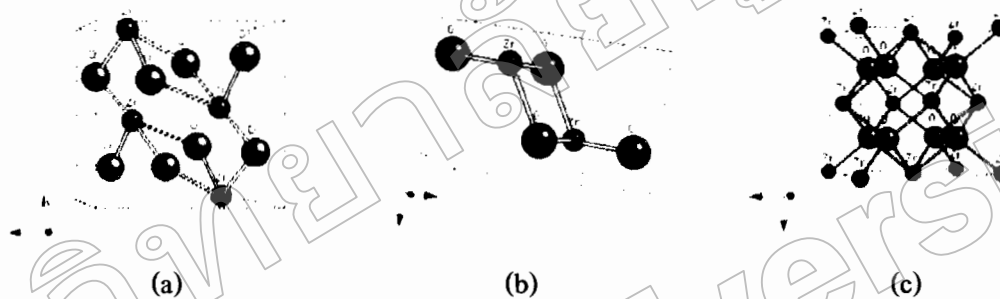
เซอร์โคเนียมออกไซด์ (เซอร์โคเนีย; ZrO_2) เป็นออกไซด์ชนิดหนึ่งของโลหะทรานซิชันที่น่าสนใจ เนื่องจากฟิล์มเซอร์โคเนียมออกไซด์มีสมบัติเด่นหลายประการ เช่น มีค่าดัชนีหักเหสูง (1.95-2.17) (Hembram, Dutta, Waghmare, & Roa, 2007; Zhao et al., 2008) แถบพลังงานกว้าง (3.25-5.1 eV) (Bendoraitis & Salomon, 1965) การสูญเสียทางแสงต่ำ และ โปร่งแสงสูงทั้งในช่วงตามองเห็นและอินฟราเรดใกล้ จากสมบัติดังกล่าวทำให้ช่วงทศวรรษที่ผ่านมา มีการวิจัยและพัฒนาเทคโนโลยีการเคลือบฟิล์มเซอร์โคเนียมออกไซด์ที่มีความหนาในระดับนาโนครอบคลุมทั้งด้านความรู้พื้นฐานและการประยุกต์ใช้งาน โดยเฉพาะอย่างยิ่งในกลุ่มที่ใช้สมบัติด้านแสงและอิเล็กทรอนิกส์ ดังนั้นจึงมีการนำฟิล์มเซอร์โคเนียมออกไซด์ไปประยุกต์ในงานด้านต่าง ๆ เช่น ใช้ทำกระจกสะท้อนแสงสูง ฟิลเตอร์แสงชนิดแทรกสอดแบบช่วงกว้าง และอุปกรณ์อิเล็กทรอนิกส์ที่ไวต่อแสง นอกจากนี้เซอร์โคเนียมออกไซด์ยังเป็นตัวแทนของซิลิกอนไดออกไซด์ที่ใช้เป็นเกตไดอิเล็กทริกในทรานซิสเตอร์ (Gate Dielectric in Transistors) เนื่องจากมีค่าคงที่ไดอิเล็กทริกสูง (~ 25) และมีการรั่วของกระแสต่ำ (Low Leakage Current) เป็นต้น

โดยทั่วไปแล้ว โครงสร้างผลึกของเซอร์โคเนียมออกไซด์มีลักษณะ โครงสร้างเป็นแบบโมโนคลินิก ซึ่งเสถียรที่อุณหภูมิต่ำกว่า $1170^\circ C$ แล้วเปลี่ยนเป็นเตตระโกนอล ที่อุณหภูมิในช่วง $1170^\circ C$ ถึง $2370^\circ C$ และเปลี่ยนเป็นคิวบิก ที่อุณหภูมิ $2370^\circ C$ จนถึงจุดหลอมเหลวที่อุณหภูมิ $2680^\circ C$ (Yu et al., 2005) สำหรับ โครงสร้างผลึกของฟิล์มเซอร์โคเนียมออกไซด์ขึ้นกับเทคนิค และเงื่อนไขการเคลือบ

การเตรียมฟิล์มบางเซอร์โคเนียมออกไซด์ ต้องทำการเปลี่ยนค่าตัวแปรหลายค่า แล้วนำฟิล์มที่เคลือบได้ไปวิเคราะห์ด้วยเครื่อง XRD เพื่อศึกษารูปแบบการเลี้ยวเบนของรังสีเอกซ์ และเปรียบเทียบตำแหน่งของพีคที่เกิดขึ้นกับแฟ้มข้อมูลการเลี้ยวเบนรังสีเอกซ์ของผลึกผง (Joint Committee on Powder Diffraction Standard, JCPDS) ของเซอร์โคเนียมออกไซด์

ตารางที่ 2-2 ระบบผลึกของฟิล์มบางเซอร์โคเนียมออกไซด์

ระบบผลึก	แกน	มุมระหว่างแกน
โมนอกลิติก	$a \neq b \neq c$	$\alpha = \gamma = 90^\circ, \beta \geq 90^\circ$
เตตระโกนอล	$a = b \neq c$	$\alpha = \beta = \gamma = 90^\circ$
คิวบิก	$a = b = c$	$\alpha = \beta = \gamma = 90^\circ$



ภาพที่ 2-25 เฟสของเซอร์โคเนียมออกไซด์ (<http://www.youtube.com/watch?v=CW8VCsBFR-s>)

(a) เฟสโมนอกลิติก

(b) เฟสเตตระโกนอล

(c) เฟสคิวบิก

ตารางที่ 2-3 ข้อมูลการเลี้ยวเบนรังสีเอกซ์ของผลึกเซอร์โคเนียมออกไซด์เฟสโมโนคลินิก

Pattern: 78-1807		Wavelength = 1.54060 (Å)		
ZrO ₂ (Monoclinic/ Zirconium Oxide)		d (Å)	Intensity	h k l
Lattice: Monoclinic		5.0838	64	1 0 0
S.G. : P4 _{1/c} (14)	Molecular Weight = 123.22	3.6981	168	0 1 1
a = 5.150	Volume [CD] = 140.88	3.6391	118	1 1 0
b = 5.211	Dx = 5.809	3.1656	999*	$\bar{1}$ 1 1
c = 5.317	Dm = -	2.8417	678	1 1 1
	I/I _{cor} = 4.82	2.6242	201	0 0 2
		2.6058	130	0 2 0
		2.5419	149	2 0 0
		2.5011	31	$\bar{1}$ 0 2
		2.3339	53	0 2 1
		2.2148	128	$\bar{2}$ 1 1
		2.1929	50	1 0 2
		1.8490	171	0 2 2
		1.8195	212	2 2 0
		1.8044	122	$\bar{1}$ 2 2
		1.6585	98	0 1 3
		1.4970	64	$\bar{2}$ 1 3

*Calculated from ICSD using POWD-12++, (1997)

*Howard, Hill, and Reichert (1988)

ตารางที่ 2-4 ข้อมูลการเลี้ยวเบนรังสีเอกซ์ของผลึกเซอร์โคเนียมออกไซด์เฟสเตตระโกนอล

Pattern: 79-1769		Wavelength = 1.54060 (Å)		
ZrO ₂ (Tetragonal/ Zirconium Oxide)		d (Å)	Intensity	h k l
Lattice: Tetragonal		2.9547	999*	1 0 1
S.G. : P4 _{2/mmc} (137)		Molecular Weight = 123.22		
a = 3.595	$\alpha = \gamma = \beta = 90^\circ$	Volume [CD] = 67.04		
b = 3.595		Dx = 6.104		
c = 5.185		Dm = -		
		I/1cor = 9.87		
ICSD COLLECTION CODE: 066787		1.5358	200	2 1 1
		1.4773	47	2 0 2
		1.3665	3	2 1 2
		1.2962	15	0 0 4
		1.2712	37	2 2 0
		1.1772	64	2 1 3
		1.1677	31	3 0 1
		1.1548	24	1 1 4
		1.1414	17	2 2 2
		1.1370	15	3 1 0

*Calculated from ICSD using POWD-12++ (1997)

*Bondars et al. (1995)

ตารางที่ 2-5 ข้อมูลการเลี้ยวเบนรังสีเอกซ์ของผลึกเซอร์โคเนียมออกไซด์เฟสคิวบิก

Pattern: 49-1642		Wavelength = 1.54060 (Å)			
ZrO ₂ (Cubic / Zirconium Oxide)		d (Å)	Intensity	h k l	
Lattice: Cubic		2.9646	100	1 1 1	
S.G. : Fm $\bar{3}$ m (225)		Molecular Weight = 123.22	2.5644	17	2 0 0
a = 5.128	$\alpha = \gamma = \beta = 90^\circ$	Volume [CD] = 134.85	1.8152	32	2 2 0
		Dx = 6.069	1.5466	16	3 1 1
		Dm = -	1.4810	2	2 2 2
		I/ cor = -	1.2808	1	4 0 0
			1.1769	2	3 3 1
			1.1467	3	4 2 0
			1.0469	1	4 2 2
	0.98646	1	3 3 3		
	0.86685	1	5 3 1		
	0.85472	<1	1 0 0		

*Tomaszewski and Godwod (1995)

งานวิจัยที่เกี่ยวข้อง

Zhao et al. (2008) เตรียมฟิล์มบางเซอร์โคเนียมออกไซด์ด้วยวิธี อาร์เอฟ รีแอคทีฟ สปีดเตอริง ภายใต้เงื่อนไขไบเอสต่าง ๆ เพื่อศึกษาผลของอุณหภูมิขณะเคลือบ และกระบวนการอบอ่อนภายหลังการเคลือบต่อ โครงสร้างและสมบัติทางแสงของฟิล์มเซอร์โคเนียมออกไซด์ จากการศึกษาพบว่าฟิล์มที่เคลือบบนแผ่นซิลิกอนมีโครงสร้างผลึกแบบ โมโนคลินิก ระนาบ (111) ที่มีความเป็นผลึกสูง ภายใต้เงื่อนไขไบเอส สปีดเตอริง และอุณหภูมิวัสดุรองรับสูง ในทางตรงกันข้ามพบโครงสร้างผลึกแบบเตตระโกนอล บนกระจกภายใต้เงื่อนไขเดียวกัน และพบว่าเส้นโค้งการกระจายค่าดัชนีหักเหของฟิล์มเพิ่มขึ้นภายหลังการอบอ่อน โดยเฉพาะฟิล์มที่เคลือบที่ไบเอสสูง ๆ ค่าดัชนีหักเหของฟิล์มเซอร์โคเนียมออกไซด์ เพิ่มขึ้นเป็น 2.17 (550 nm) ที่ไบเอสที่เหมาะสม ในขณะที่ค่าแถบพลังงานลดลงเป็น 5.65 eV

Huang and Chu (2005) ศึกษาการเตรียมฟิล์มเซอร์โคเนียมออกไซด์บนแผ่นซิลิกอน (100) ที่มีความเป็นผลึก และการจัดเรียงตัวของผลึกได้ดี นอกจากนี้มีการปรับปรุงสมบัติการเชื่อมต่อระหว่างฟิล์มบางกับแผ่นซิลิกอนที่เป็นวัสดุรองรับ โดยการไบเอสวัสดุรองรับ การไบเอส มีผลต่อการเชื่อมต่อและ โครงสร้างระดับจุลภาคของฟิล์มบางเซอร์โคเนียมออกไซด์ จากการศึกษาพบว่า การไบเอสวัสดุรองรับที่เหมาะสม ทำให้โครงสร้างระดับจุลภาคของฟิล์มบางเซอร์โคเนียมออกไซด์มีการจัดเรียงตัวของผลึกดีขึ้น และลดชั้นของการเชื่อมต่อระหว่างฟิล์มกับวัสดุรองรับ ดังนั้นการไบเอสมีผลต่อ โครงสร้างระดับจุลภาคของฟิล์มบาง

Pamu, Sudheendran, Ghanashyam Krishna, James Raju, and Bhatnagar Anil (2009) ศึกษาผลึกระดับนาโนของฟิล์มบางเซอร์โคเนียมออกไซด์ ที่เคลือบบนแก้วบอโรซิลิเกต (Borosilicate glass) ด้วยวิธี ดีซี แมกนีตรอน สปีดเตอริง โดยให้ความร้อน จากการศึกษาได้แสดงถึงความเป็นไปได้ของการปลูกฟิล์มเซอร์โคเนียมออกไซด์ใน ดีซี พลาสมาของแก๊สออกซิเจน 100% ฟิล์มที่ได้มีความหนาเท่ากับ 500 nm ฟิล์มเซอร์โคเนียมออกไซด์ที่เคลือบด้วยเปอร์เซ็นต์ของแก๊สออกซิเจน 40%, 60% และ 80% และให้อุณหภูมิสูง ๆ พบเฟสมากกว่าหนึ่งเฟส ในขณะที่เปอร์เซ็นต์ของแก๊สออกซิเจนที่ต่ำสุดและสูงสุด มีเพียงเฟส โมโนคลินิก ค่าดัชนีหักเหสูงสุดมีค่าเท่ากับ 1.85 เมื่อเทียบกับเปอร์เซ็นต์ของแก๊สออกซิเจน ขนาดผลึกของฟิล์มมีค่าอยู่ในช่วง 11-25 nm โดยคำนวณจากเทคนิค XRD ขนาดเกรนมีค่าอยู่ในช่วง 38-45 nm ค่าคงตัวไดอิเล็กทริกของฟิล์มวัดด้วยคลื่นความถี่ไมโครเวฟ (8-12 GHz) มีค่าอยู่ในช่วง 13-19.2

Gao et al. (2000) ศึกษาการเตรียมฟิล์มเซอร์โคเนียมออกไซด์ ด้วยวิธี อาร์เอฟ รีแอคทีฟ สปีดเตอริง โดยแปรค่าระยะห่างระหว่างเป้าสารเคลือบกับวัสดุรองรับ และกำลังอาร์เอฟ ฟิล์มที่ได้ นำไปศึกษาลักษณะเฉพาะด้วยเทคนิค XRD SEM และวัดแสงด้วยเทคนิค Optical spectroscopy จากการศึกษายพบเฟส โมโนคลินิก และเฟสเตตระโกนอล ฟิล์มทั้งหมดมีการจัดเรียงตัวแบบสุ่ม เมื่อระยะห่างระหว่างเป้าสารเคลือบกับวัสดุรองรับลดลง และกำลังอาร์เอฟเพิ่มขึ้น ทำให้ผลึกมีขนาดเพิ่มขึ้น สาเหตุส่วนใหญ่ของการเกิดความเค้นค้ำของฟิล์มเกิดจากความเค้นภายในตัวฟิล์ม นอกจากนี้ระยะห่างระหว่างเป้าสารเคลือบกับวัสดุรองรับ และกำลังอาร์เอฟยังมีผลต่อสมบัติทางแสงของฟิล์ม

Gao, Meng, dos Santos, Teixeira, and Andritschky (2001) ศึกษาการเตรียมฟิล์ม เซอร์โคเนียมออกไซด์ ด้วยวิธี อาร์เอฟ รีแอคทีฟ แมกนีตรอน สปีดเตอริง ที่ความดันรวมขณะเคลือบต่าง ๆ ฟิล์มที่เตรียมด้วยความดันรวมขณะเคลือบต่ำ พบเฟส โมโนคลินิกเป็นเฟสเด่น และพบเฟสเตตระโกนอลเป็นส่วนน้อย จากการศึกษายพบว่าความดันรวมขณะเคลือบมีผลต่อ โครงสร้างระดับจุลภาค ความเค้นตักค้ำ และสมบัติทางแสงของฟิล์ม ฟิล์มที่ได้ศึกษาลักษณะเฉพาะด้วยเทคนิค XRD SEM EDX และวัดแสงด้วยเทคนิค Optical spectroscopy

Choi et al. (2005) ศึกษาเงื่อนไขของการปลูกฟิล์มบางเซอร์โคเนียมออกไซด์บนแผ่นซิลิกอน และศึกษาการเชื่อมต่อระหว่างโครงสร้างของฟิล์มเซอร์โคเนียมออกไซด์กับแผ่นซิลิกอน โดยฟิล์มบางเซอร์โคเนียมออกไซด์เตรียมด้วยวิธี อาร์เอฟ แมกนีตรอน สปีดเตอริง จากเป้า เซอร์โคเนียมไนไตรด์ผสมของอาร์กอนและออกซิเจนที่อุณหภูมิห้อง แล้วนำไปอบอ่อนในบรรยากาศแก๊สออกซิเจน ผลการศึกษายพบว่าที่ความดันย่อยของแก๊สออกซิเจนสูง ๆ ฟิล์มบาง เซอร์โคเนียมออกไซด์มีพื้นผิวเรียบขึ้น ในกระบวนการอบอ่อนฟิล์มบางเซอร์โคเนียมออกไซด์ เกิดการแพร่ของอะตอมออกซิเจนทำให้การเชื่อมต่อระหว่างฟิล์มเซอร์โคเนียมออกไซด์กับแผ่นซิลิกอนเกิดขึ้นของซิลิกอนออกไซด์ เซอร์โคเนียมซิลิไซด์ (Zr silicide) และเซอร์โคเนียมซิลิเกต (Zr silicate) ภายหลังจากอบอ่อนที่อุณหภูมิ 650-750°C พบว่าชั้นของการเชื่อมต่อมีการรั่วของ กระแสน้อยกว่า 10^{-8} A/cm² ซึ่งสอดคล้องกับกระบวนการอบอ่อนที่อุณหภูมิสูง ๆ ของการ ออกซิไดซ์ซิลิกอนออกไซด์

Sanchez-Gonzalez, Diaz-Parralejo, Ortiz, and Guiberteau (2006) ศึกษาวิธีการคำนวณหาค่าคงที่ทางแสงจากข้อมูลค่าการส่งผ่านแสงด้วยวิธี Swanepoel โดยสนใจค่าดัชนีหักเห (Refractive index ; n) ความหนา (Thickness ; d) ดัชนีการดูดกลืน (Absorption index ; α) และสัมประสิทธิ์การดับสูญ (Extinction coefficient ; k) ของฟิล์มบางเซอร์โคเนียมออกไซด์ที่โคปด้วยอิตเทรียมออกไซด์ (Y_2O_3) 3 mol % (Ytria stabilized zirconia; 3YSZ) ซึ่งมีโครงสร้างระดับนาโนฟิล์มบางเซอร์โคเนียมออกไซด์เตรียมด้วยวิธีโซลเจลและเคลือบแบบจุ่ม (Dipping) บนแก้วโซดาไลม์ (Soda-lime glass) และใช้ค่าสัมประสิทธิ์การดูดกลืนในการคำนวณหาค่าแถบพลังงานของฟิล์ม จากผลการศึกษาพบว่าค่าดัชนีหักเหมีค่าเพิ่มขึ้น ลดลง และคงที่เมื่อความยาวคลื่นเพิ่มขึ้น ขณะที่สัมประสิทธิ์การดูดกลืน และสัมประสิทธิ์การดับสูญมีค่าลดลงจนถึงศูนย์ ฟิล์มบาง 3YSZ มีค่าแถบพลังงานเท่ากับ 4.6 eV ผลที่ได้ทั้งหมดสอดคล้องกับงานวิจัยอื่นที่เป็นฟิล์มบางเหมือนกัน และเสนอว่าวิธี Swanepoel มีความสำคัญในการหาลักษณะเฉพาะทางแสงของฟิล์มบางเซรามิกส์

Manificier, Gasiot, and Fillard (1976) เสนอวิธีการคำนวณหาค่าคงที่ทางแสงและความหนาจากรูปแบบริ้วการแทรกสอด (Interference Fringe Pattern) ของสเปกตรัมการส่งผ่านของฟิล์มบางไดอิเล็กทริกที่มีความใส ซึ่งเคลือบอยู่บนวัสดุรองรับที่ไม่มีการดูดกลืน (Non-Absorbing) ประเด็นสำคัญที่น่าสนใจของวิธีการหาค่าคงที่ทางแสงของฟิล์มบางที่เสนอนี้คือ เป็นวิธีที่ไม่ยุ่งยาก ซับซ้อน สามารถหาได้โดยตรงและแม่นยำเหมือนกับวิธี Iteration

Swanepoel (1983) ศึกษาค่าคงที่ทางแสงและความหนาของฟิล์มจากริ้วการแทรกสอดของสเปกตรัมการส่งผ่านเมื่อความหนาของฟิล์มและความยาวคลื่นมีขนาดเท่ากัน ค่าการส่งผ่านแสงของฟิล์มจะเป็นฟังก์ชันของดัชนีหักเห สัมประสิทธิ์การดับสูญ ความหนา และดัชนีหักเหของวัสดุรองรับ

Mergel, Buschendorf, Eggert, Grammes, and Samset (2000) ศึกษาความหนาแน่นและดัชนีหักเหของฟิล์มบางไททานเนียมไดออกไซด์ที่มีโครงสร้างเป็นแบบอสัณฐาน โดยการเตรียมด้วยวิธีระเหยสารแบบรีแอคทีฟ (Reactive evaporation) ที่อุณหภูมิ 300°C และแปรค่าความดันและอัตราการเคลือบ ซึ่งดัชนีหักเหและความหนาของฟิล์มสามารถคำนวณได้จากค่าการส่งผ่านสเปกตรัม ส่วนความหนาแน่นจะลดลงเมื่อความกว้างของระยะปลอดการชนเฉลี่ยระหว่างการเคลือบมีค่าน้อยกว่าระยะห่างระหว่างหน้าเป้ากับวัสดุรองรับ โดยสมการที่ใช้ในการอธิบายดัชนีหักเหและความหนาแน่นเป็นของ Clausius-Mosotti

Yu, Tay, and Zhao (2005) ได้เตรียมฟิล์มบางเซอร์โคเนียมออกไซด์ที่อุณหภูมิต่ำด้วยวิธี Filtered cathodic vacuum arc (FCVA) เพื่อศึกษาโครงสร้าง องค์ประกอบทางเคมี ลักษณะพื้นผิว สมบัติทางแสง และสมบัติเชิงกล โดยการแปรค่าอัตราไหลแก๊สออกซิเจน จากผลการศึกษาพบว่า เมื่ออัตราไหลแก๊สออกซิเจนเพิ่มขึ้น ฟิล์มที่เคลือบได้เปลี่ยนโครงสร้างจากออสเทนไนต์เป็นโมโนคลินิก แล้วเป็นแบบออสเทนไนต์ เมื่อเพิ่มอัตราส่วนอะตอมของ O/Zr และการเปลี่ยนสถานะของ Zr ions ที่ออกซิเดชันต่ำเป็น Zr^{4+} ทำให้เกิดการเปลี่ยนโครงสร้าง และมีผลต่อลักษณะพื้นผิวและสมบัติเชิงกลฟิล์มเซอร์โคเนียมออกไซด์

Zhao, Ma, Song, and Xu (2008) ศึกษาฟิล์มบางเซอร์โคเนียมออกไซด์ที่มีความหนาในช่วง 27-559 nm โดยเตรียมด้วยวิธี รีแอคทีฟ แมกนีตรอน สปีดเตอร์ริง ที่ความถี่กลาง (Mid-frequency reactive magnetron sputtering) บนแผ่นซิลิกอน (100) และกระจก จากการวิเคราะห์โครงสร้างระดับจุลภาคพบเฟสโมโนคลินิก ที่มีความเป็นผลึกสูงในช่วงแรกของการเกิดฟิล์ม ขณะเดียวกันเกิดเฟสเตตระโกนอลก็มีความเป็นผลึกเพิ่มขึ้นตามความหนาของฟิล์ม (ที่ความหนาประมาณ 125 nm) ความต่างขององค์ประกอบเฟส เกิดจากพลังงานของอนุภาคในกระบวนการสปีดเตอร์ ความหนามีผลต่อความเค้นคงค้าง ดัชนีหักเหและการส่งผ่านแสงฟิล์มเซอร์โคเนียมออกไซด์ ความเค้นมีการเปลี่ยนแปลงอย่างมากในช่วงแรกของการเกิดฟิล์ม แล้วมีแนวโน้มคงที่ในช่วงต่อมา ส่วนการส่งผ่านแสงค่อย ๆ ลดลงในช่วงแรกของการเกิดฟิล์ม ขณะที่ดัชนีหักเหเพิ่มขึ้นจนเป็นบัลค์ จากการทดลองพบว่าทั้งโครงสร้างระดับจุลภาคและสมบัติทางแสงของฟิล์มเซอร์โคเนียมออกไซด์มีผลต่อความหนา